

Fisica alla frontiera dell' energia: LHC

# Fisica con ioni pesanti



<http://aliceinfo.cern.ch/>

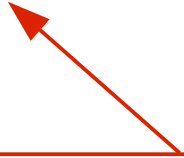
<http://atlas.web.cern.ch/Atlas/Collaboration/>

<http://cms.web.cern.ch/cms/index.html>

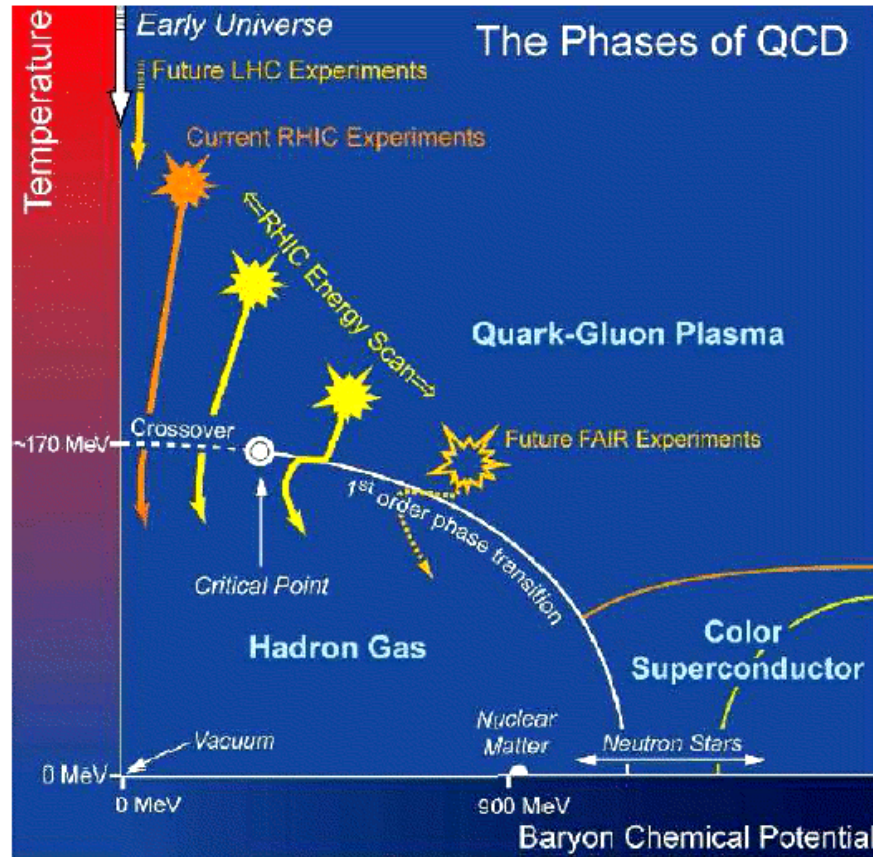
<http://qm2011.in2p3.fr/node/12>



Praticamente tutte le mie slides sui risultati  
sperimentali vengono di qui



# QCD phase diagram



**Little Bang:** ricreare in laboratorio le condizioni (la materia) esistenti nell' universo primordiale

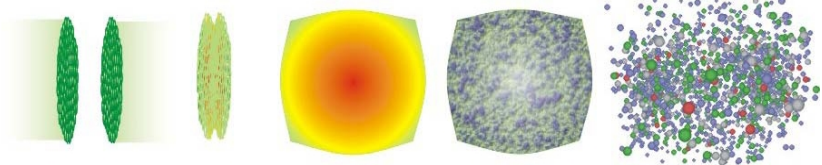
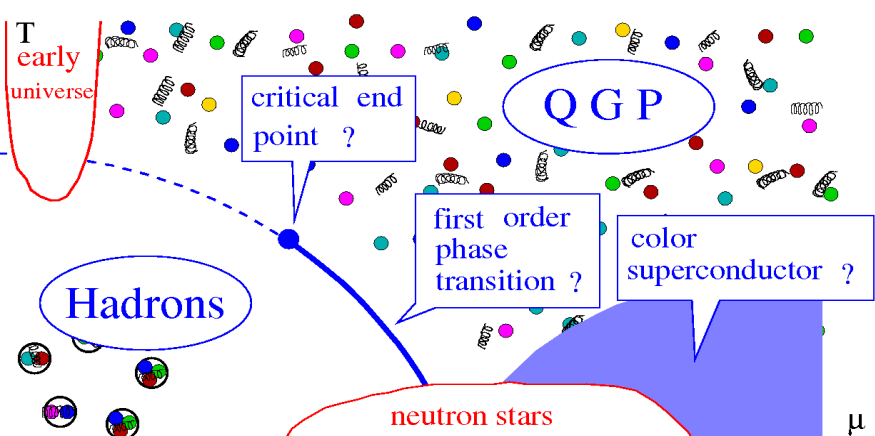
In che modo fenomeni collettivi e proprietà macroscopiche della materia fortemente interagente emergono dalle interazioni fondamentali ?

- Qual'è l' equazione di stato della QCD ?
- Quali sono le proprietà della materia in condizioni estreme di densità e di temperatura ?
  - gradi di libertà
  - viscosità
  - conducibilità termica
  - trasporto dei numeri quantici conservati
- Quali sono i meccanismi microscopici della dinamica di non-equilibrio e della termalizzazione ?
  - perdita di energia dei partoni
  - instabilità di plasma
- Come procede l' adronizzazione ? Come cambia nella materia densa ?

# Theory: Predictions & Tools

Predizioni dalla QCD:

- metodi non perturbativi
  - Lattice
  - Effective lagrangians
    - Chiral lagrangians
    - Heavy quark effective theories
    - AdS/CFT correspondence
    - .....
  - QCD sum rules
  - Potential models (quarkonium)
- metodi perturbativi
  - Basati sulla asymptotic freedom

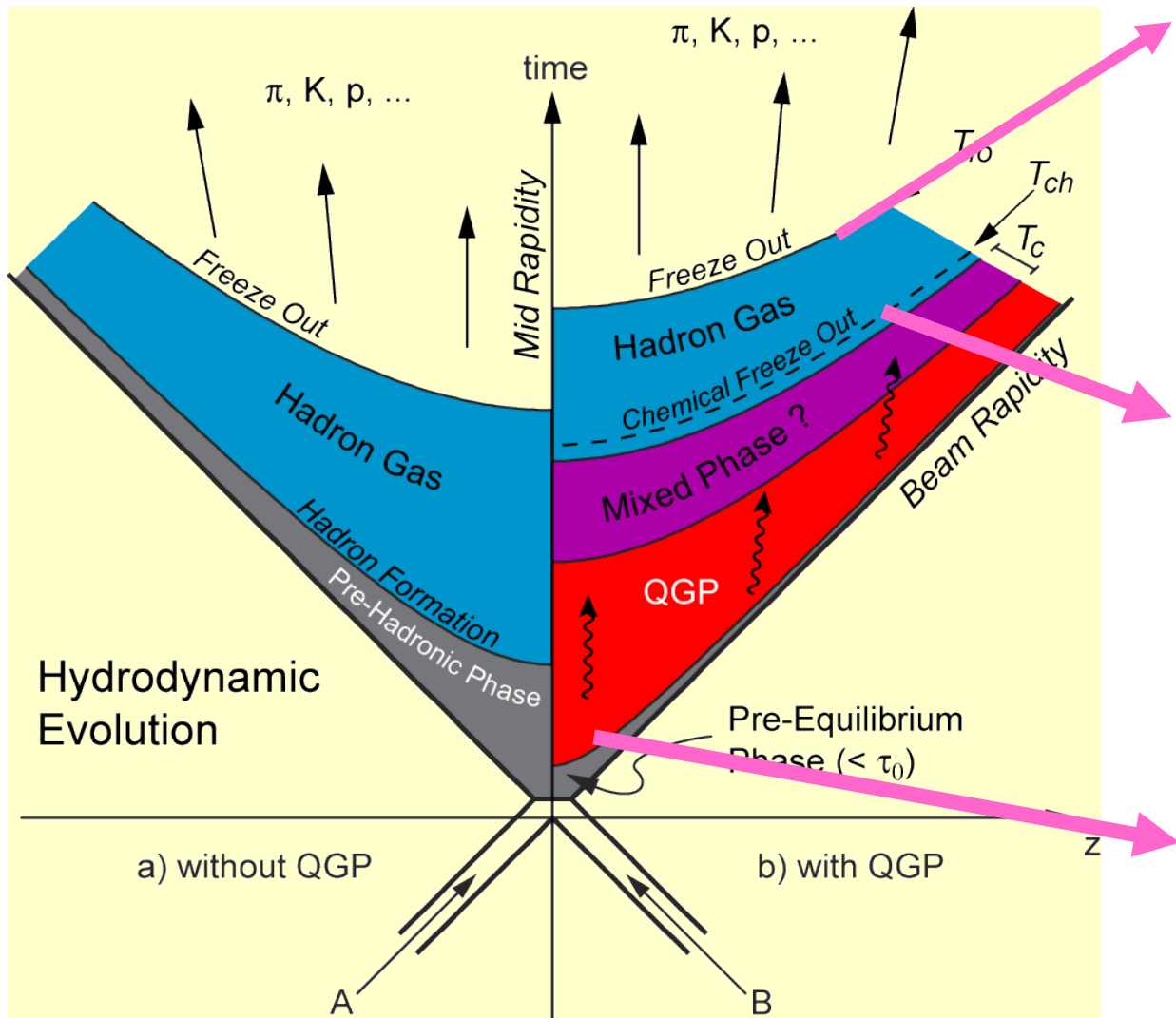


Idrodinamica per descrivere l'espansione del sistema:

- Precursore: Fermi
- Successore: Landau
- Prototipo : Bjorken
- Attualmente : **Idrodinamica viscosa**

Una teoria effettiva dove il parametro che è “piccolo” è il tempo di termalizzazione rispetto all’evoluzione macroscopica del sistema. Gli “ingredienti” (EoS, coefficienti di trasporto) sono calcolabili dalla termodinamica di equilibrio.

# HI physics: space-time evolution of the collision (I)



## Thermal freeze-out

- Elastic interactions cease
- Particle dynamics (“momentum spectra”) fixed

$$T_{fo} \text{ (RHIC)} \sim 110-130 \text{ MeV}$$

## Chemical freeze-out

- Inelastic interactions cease
- Particle abundances (“chemical composition”) are fixed (except maybe resonances)

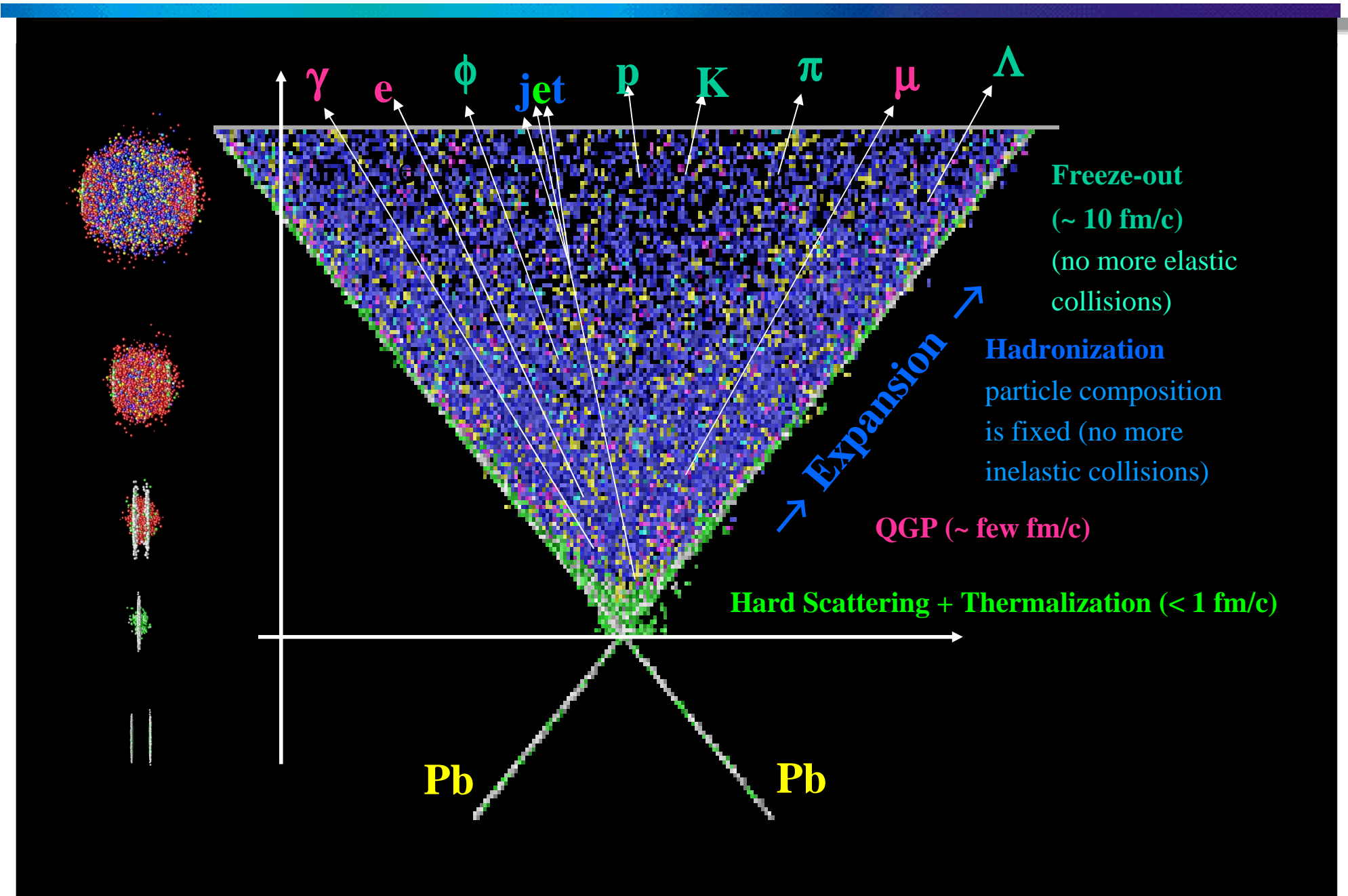
$$T_{ch} \text{ (RHIC)} \sim 170 \text{ MeV}$$

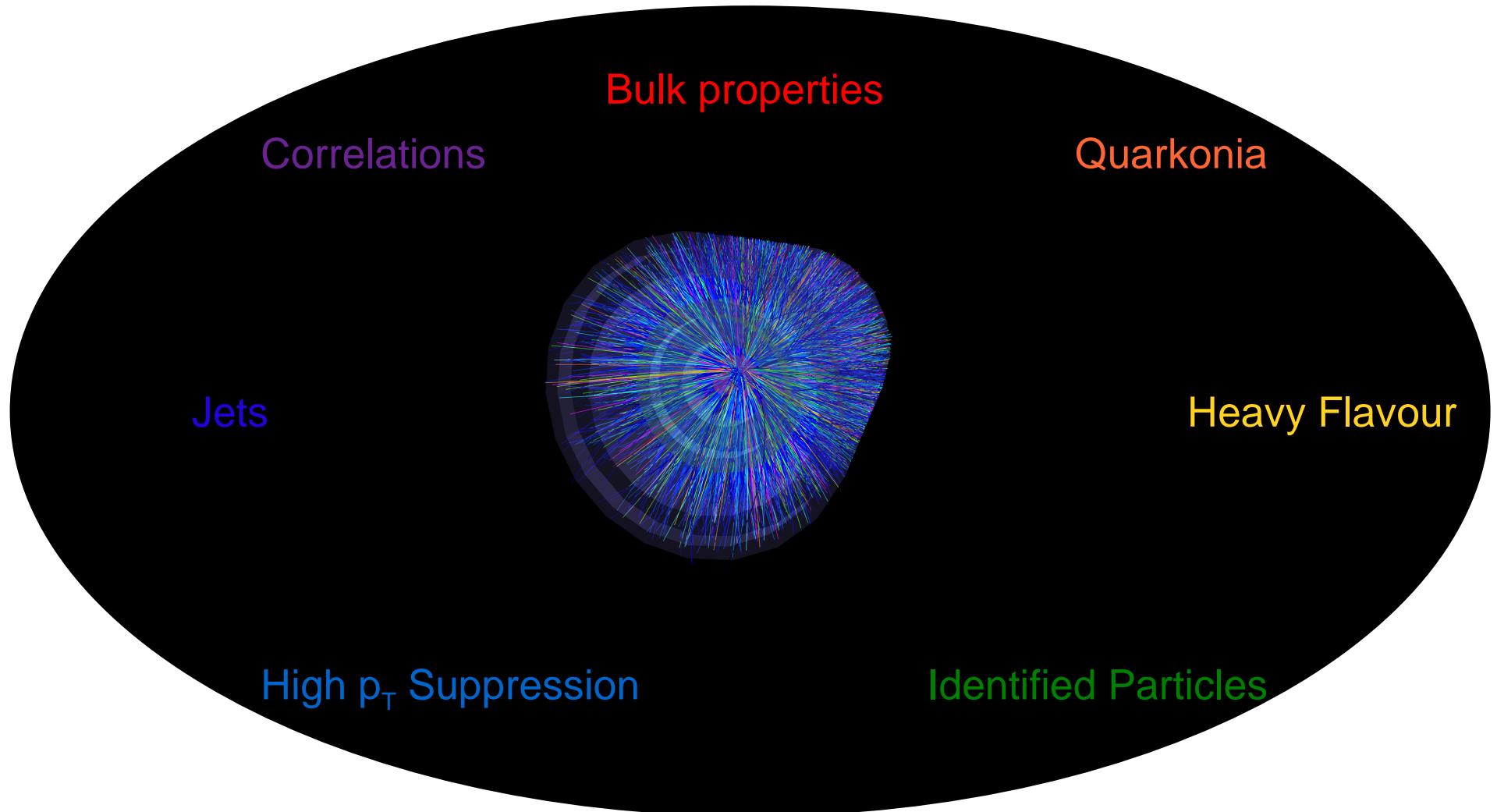
## Thermalization time

- System reaches local equilibrium

$$t_{eq} \text{ (RHIC)} \sim 0.6 \text{ fm/c}$$

## HI physics: space-time evolution of the collision (II)





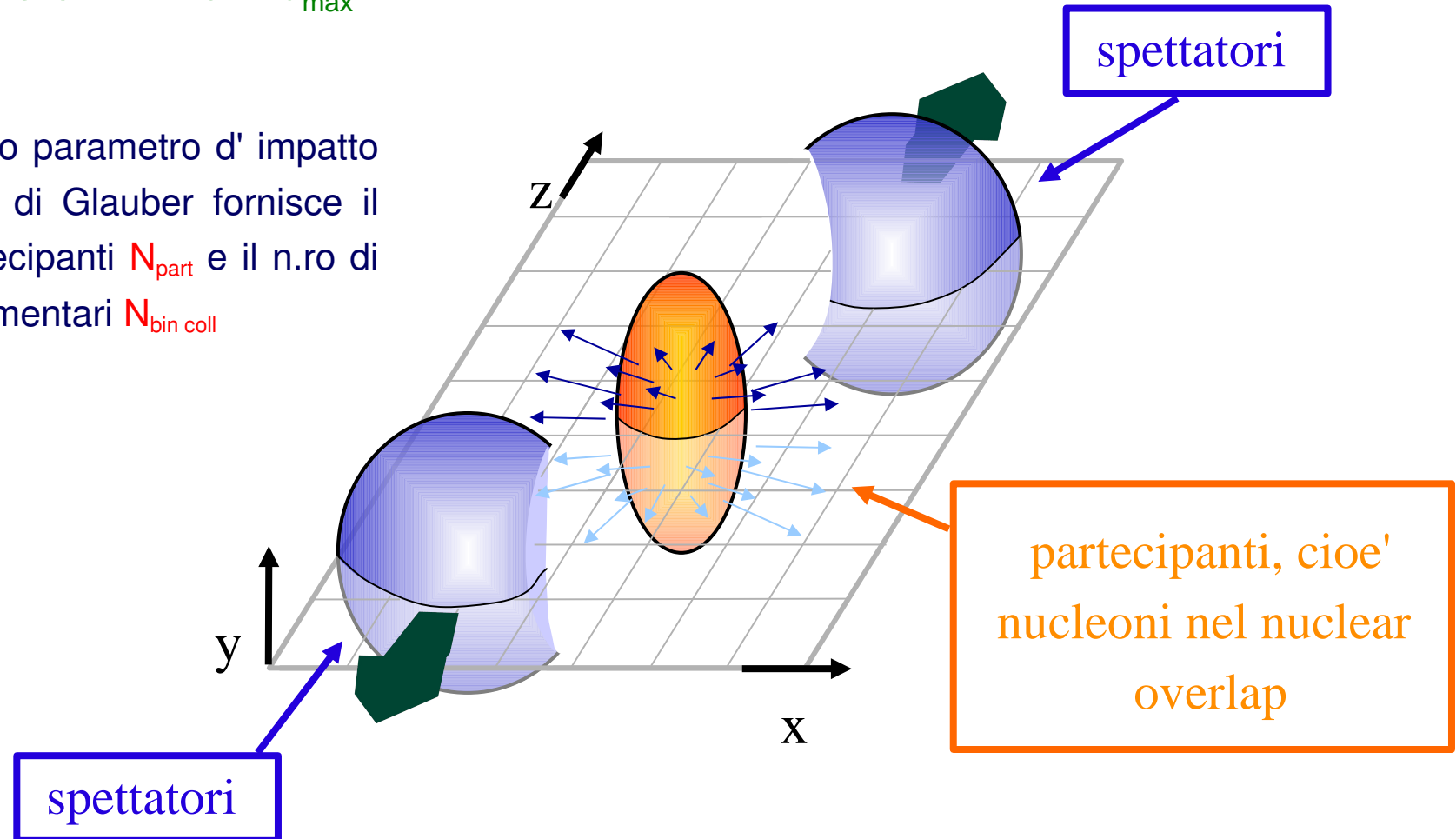
# HI physics: collision geometry (I)

Centralità → parametro d' impatto ( $b$ )

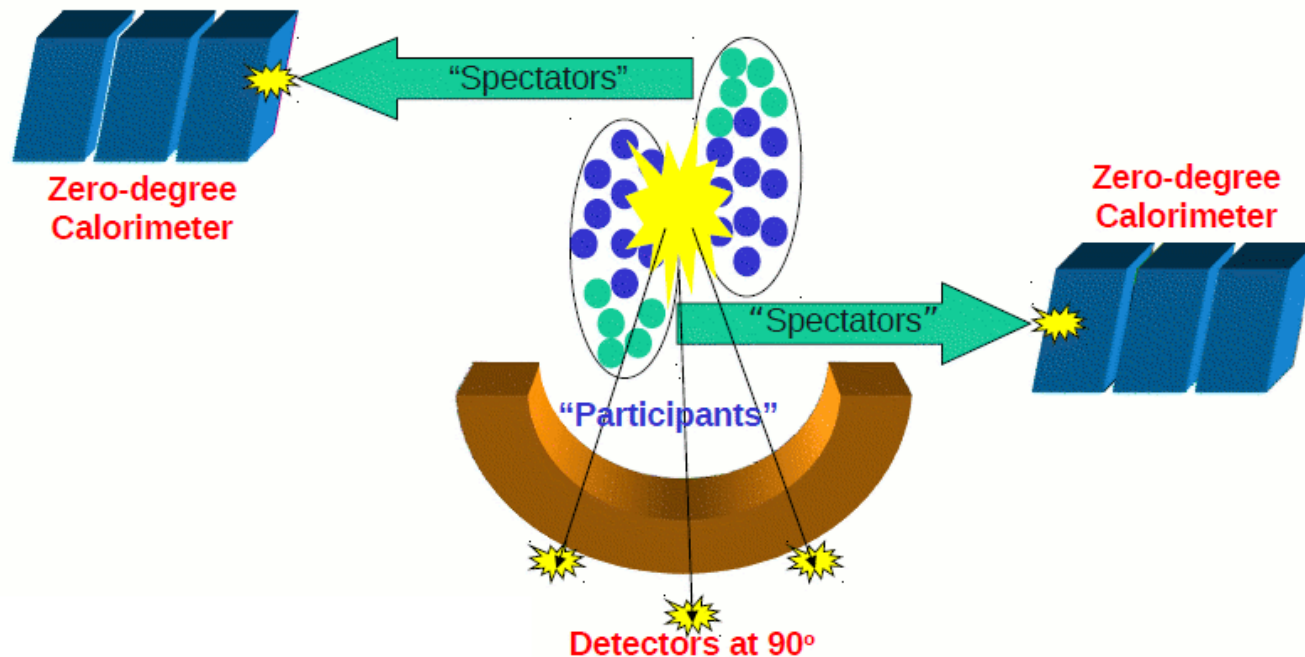
“central”  $\Rightarrow b \sim 0$

“peripheral”  $\Rightarrow b \sim b_{\max}$

Dato un certo parametro d' impatto  $b$  il modello di Glauber fornisce il n.ro di partecipanti  $N_{\text{part}}$  e il n.ro di collisioni elementari  $N_{\text{bin coll}}$



# HI physics: collision geometry (II)



# Bulk properties

$N_{ch}$ ,  $E_T$

⇒ Informazioni sulle condizioni iniziali e sulla dinamica delle collisioni

- densità di energia del sistema
- gluon saturation
- ....

⇒ Meccanismi di produzione delle particelle

- Soft:  $N_{ch} \sim N_{part}$
- Hard:  $N_{ch} \sim N_{coll}$

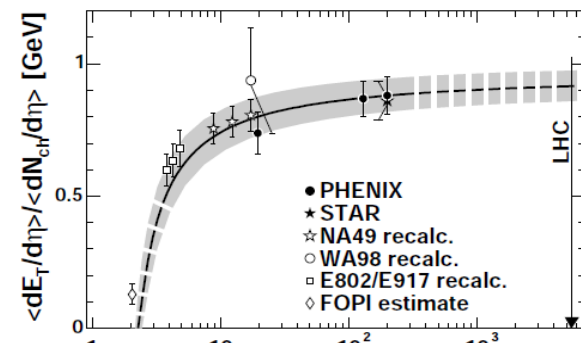
$$\frac{dN_{ch}^{AA}}{d\eta} \Big|_{\eta=0} = \frac{dN_{ch}^{NN}}{d\eta} \Big|_{\eta=0} \left[ \frac{1-x}{2} N_{part} + x N_{coll} \right]$$

- $N_{coll}$  scaling ( $x=1$ ) for Collinear factorization
- $N_{part}$  scaling ( $x>0$ ) for shadowing, non-linear QCD dynamics, saturation, collectivity

At RHIC, approximate participant scaling

Steep increase  
Incident energy  
goes in  $\langle mT \rangle$

Slow increase  
Incident energy  
converted in  $N_{ch}$

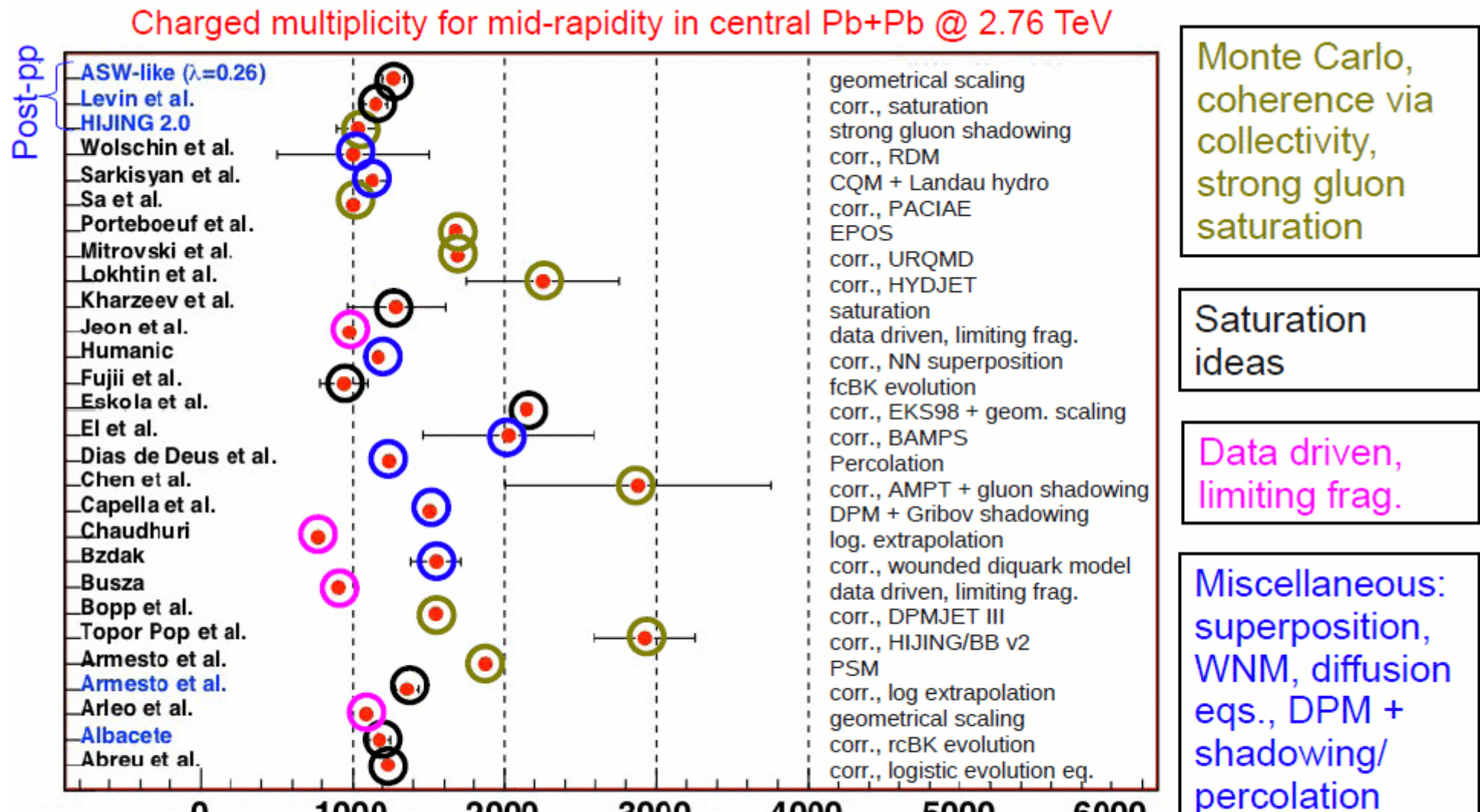


pre-LHC

⇒ Constraint sulle predizioni teoriche

- Dipendenza dalla centralità'
- Dipendenza da  $\sqrt{s}$

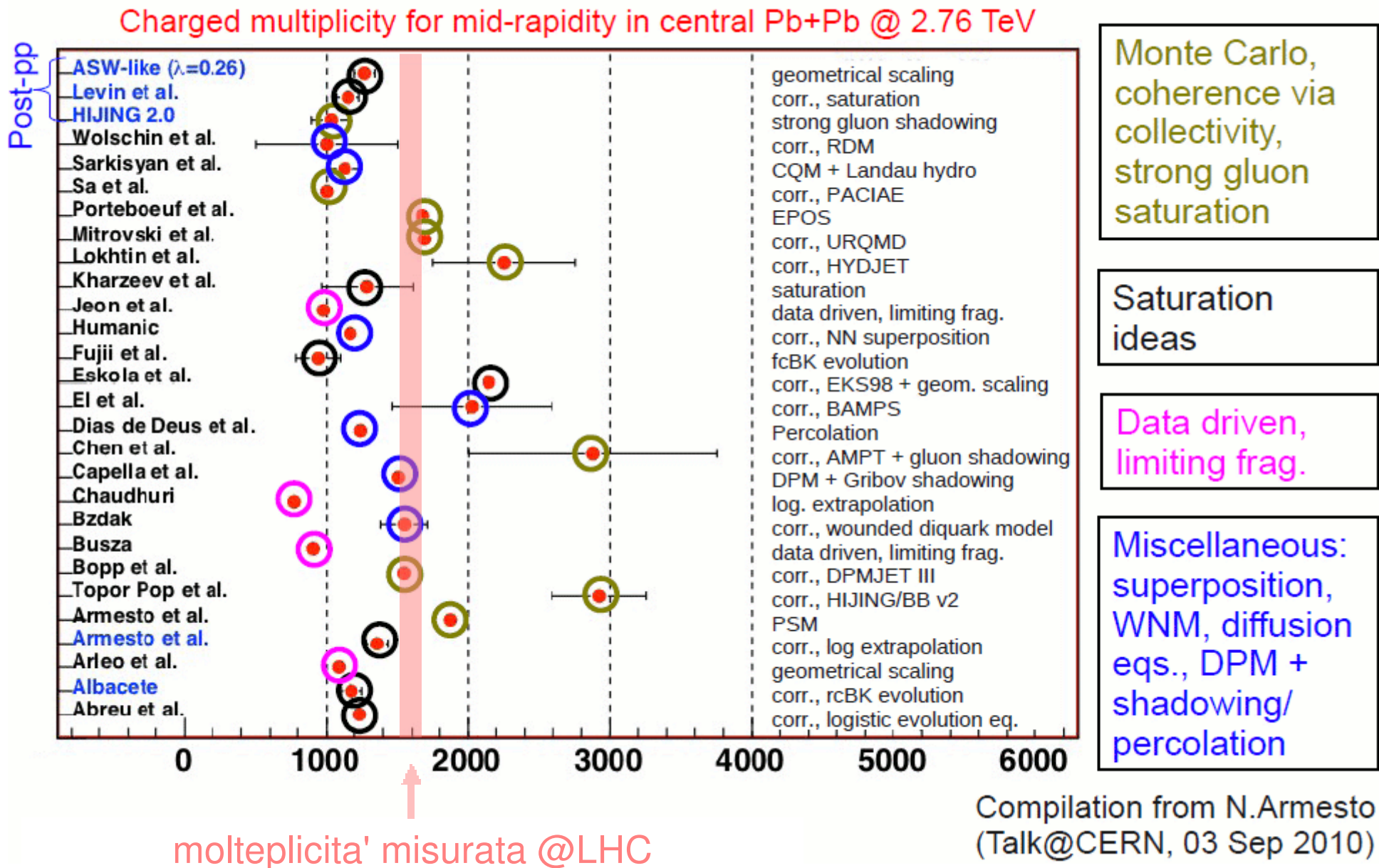
# Bulk properties – modelli



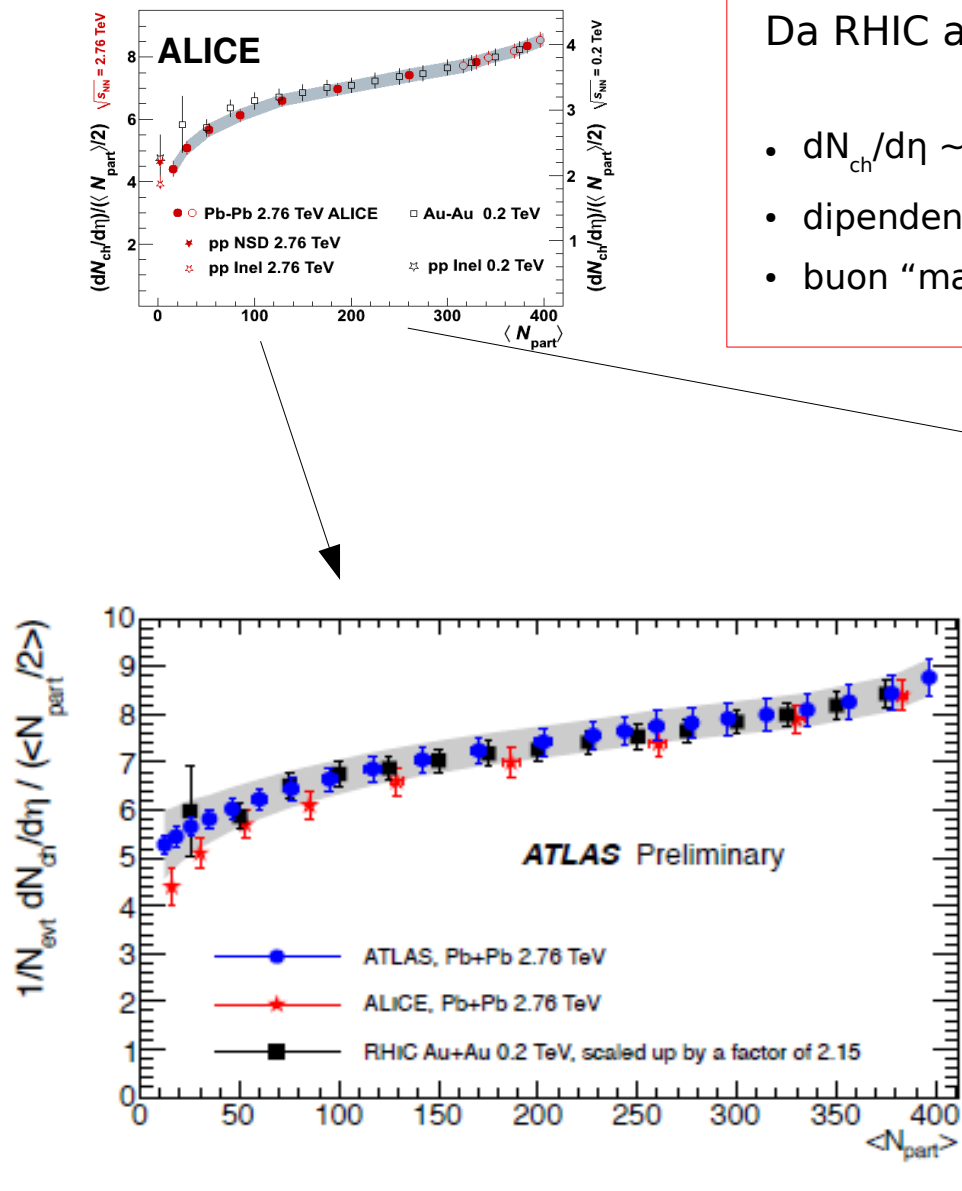
Blue are unscaled model results

Compilation from N.Armesto  
(Talk@CERN, 03 Sep 2010)

# Bulk properties – constraint a model

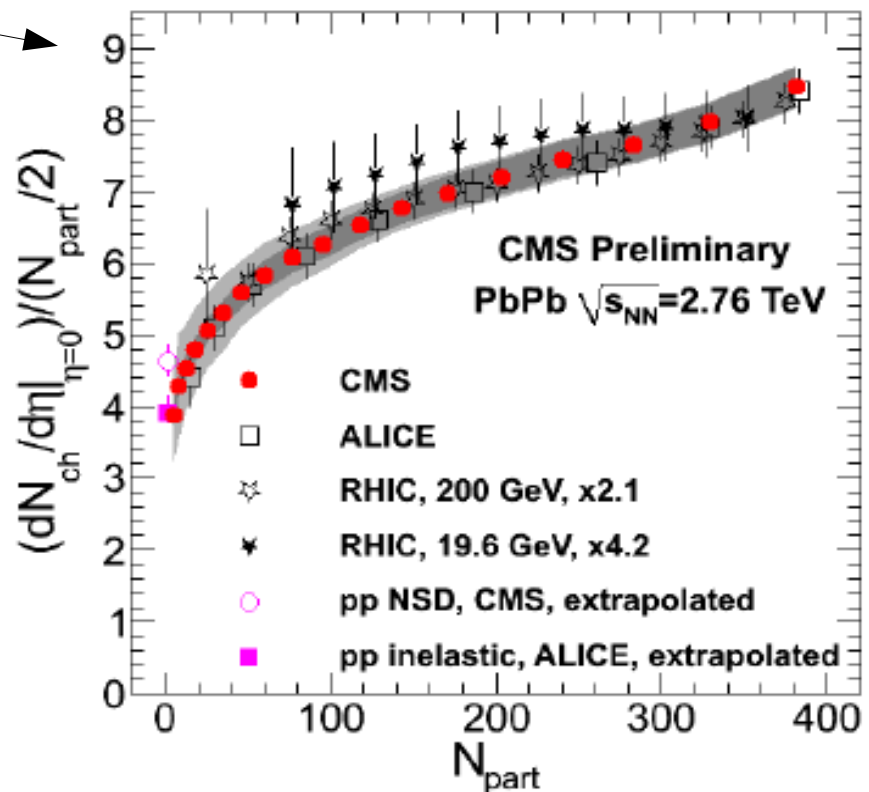


# Bulk properties – $dN_{ch}/d\eta$ – dipendenza dalla centralità'



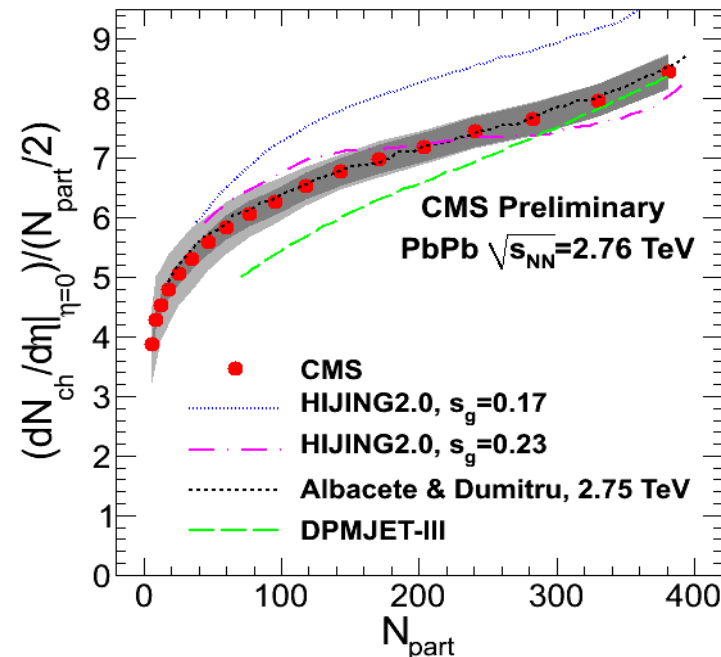
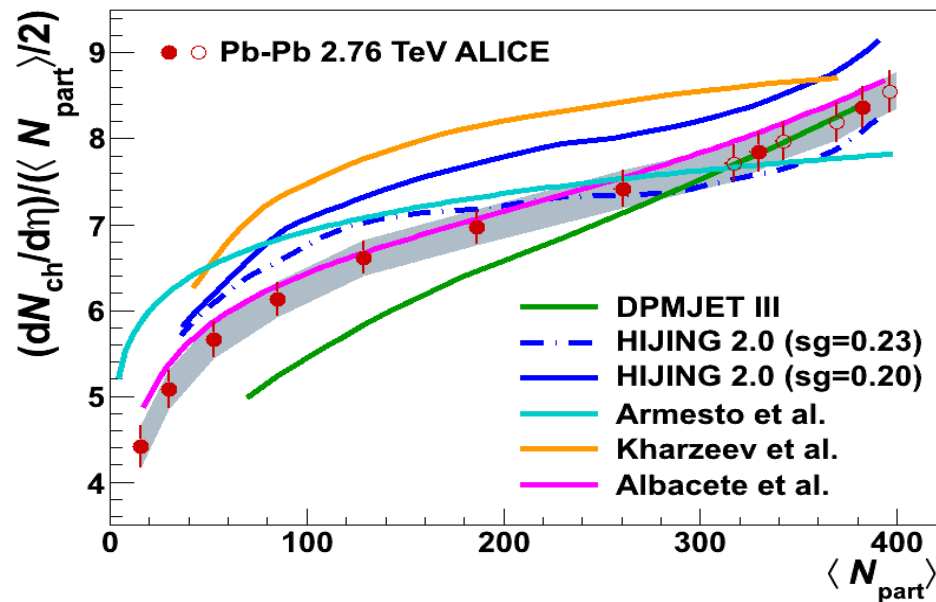
Da RHIC a LHC

- $dN_{ch}/d\eta \sim 1600$  per 0-5% (aumento di  $\sim 2.1$  rispetto a RHIC)
- dipendenza dalla centralità simile a 0.2 e 2.76 TeV
- buon “matching” al punto pp



## Bulk properties – $dN_{ch}/d\eta$

Non si vede un' influenza crescente dell' hard scattering (Ncoll) passando da 0.2 a 2.76 TeV



Le conclusioni vanno

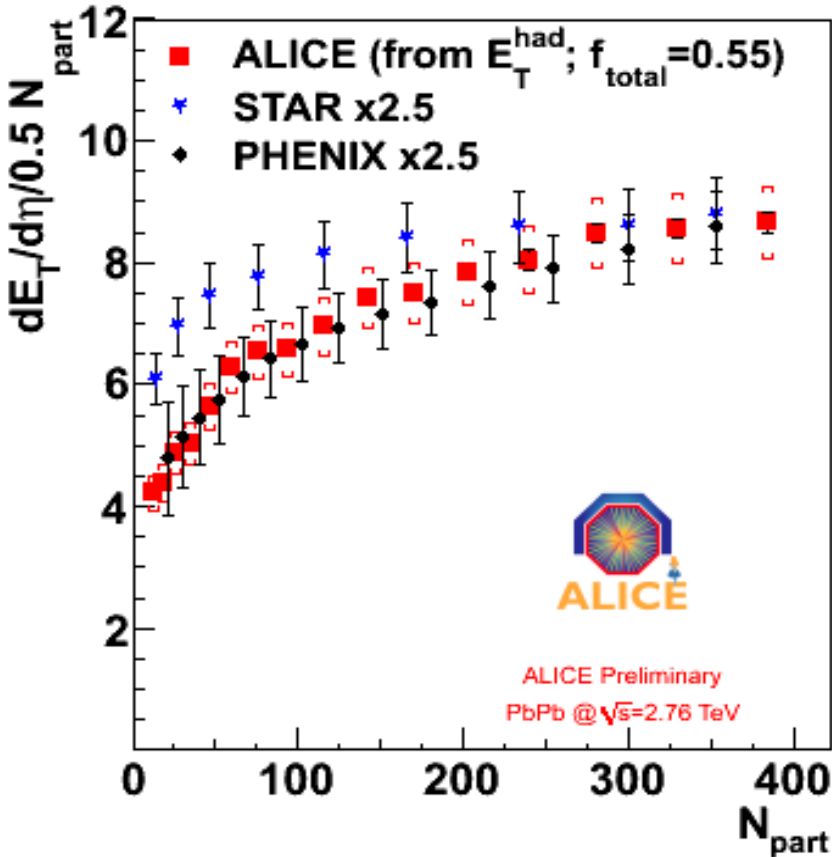


a

Seems to require moderation mechanism  
(saturation, shadowing,...)

Very good description of the data by  
a **parton saturation** approach

# Bulk properties – $dE_T/d\eta$ – dipendenza dalla centralità'

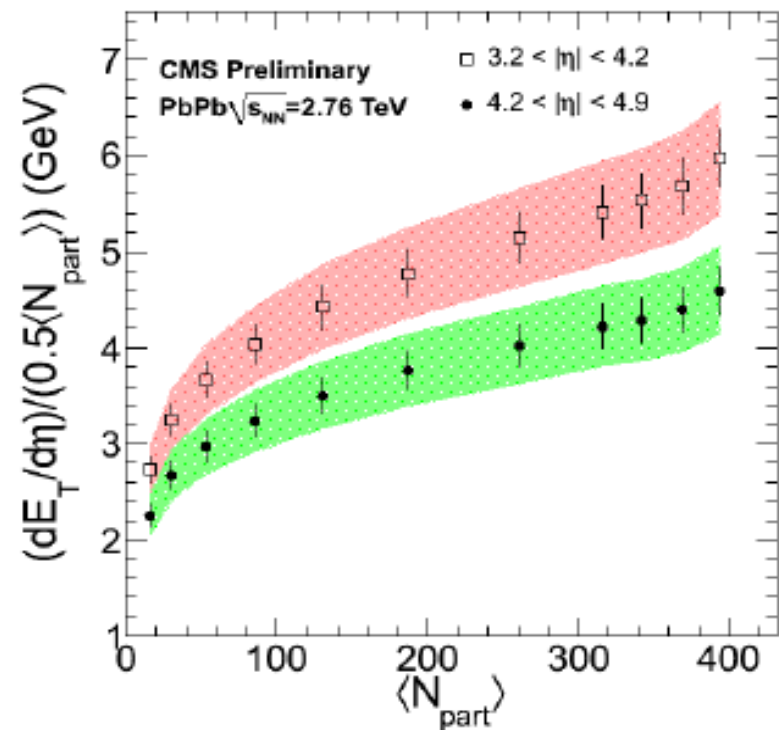


$$\varepsilon = \frac{1}{\pi R^2 \tau} \frac{dE_t}{dy} \quad R = 1.12 A^{1/3} fm$$

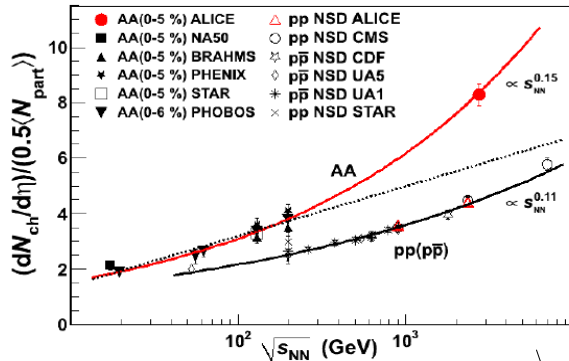
Aumento  $\sim 2.5$  di  $dE_T/d\eta / (0.5 N_{part})$  rispetto a RHIC

diminuzione di un fattore 2 da  $\eta=0$  a  $\eta=4$

densità di energia (Bjorken)  $\varepsilon \tau \sim 16$  GeV/(fm<sup>2</sup>c)  
 @RHIC:  $\varepsilon \tau = 5.4 \pm 0.6$  GeV/(fm<sup>2</sup>c)



# Bulk properties – $dN_{ch}/d\eta$ – dipendenza da $\sqrt{s}$



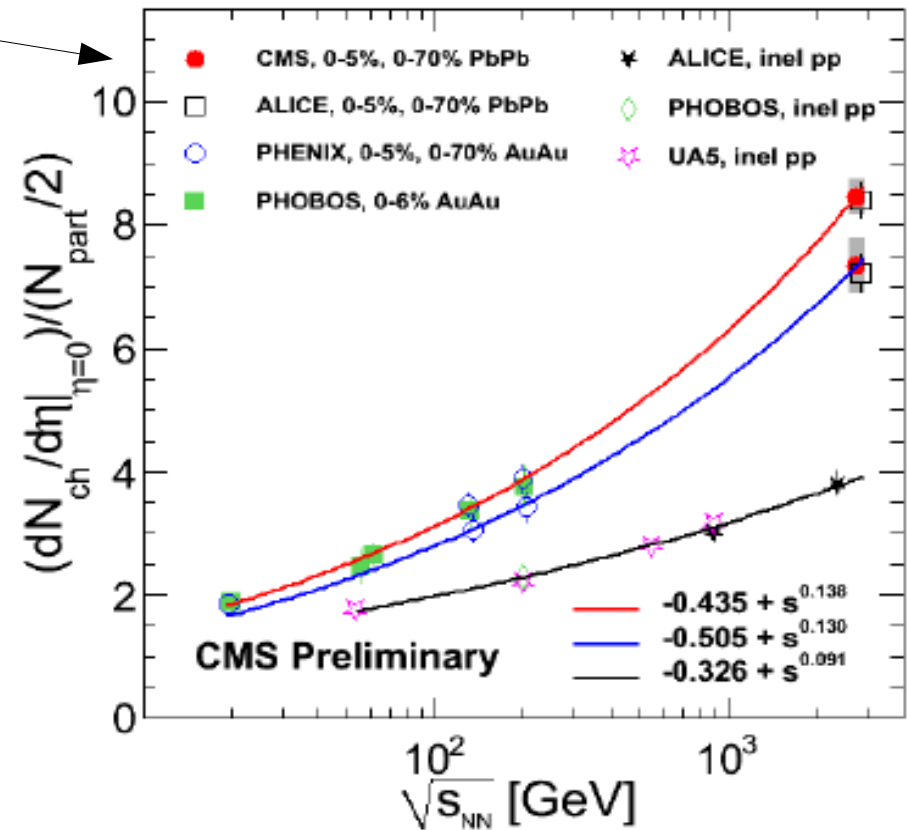
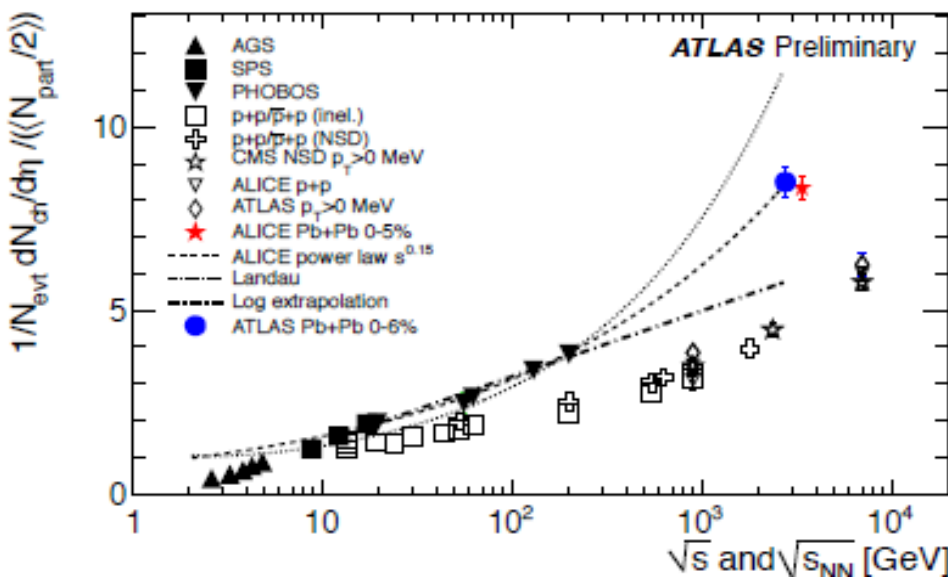
$$dN_{ch}/d\eta/(0.5*N_{part}) \sim 8$$

$2.1 \times$  RHIC

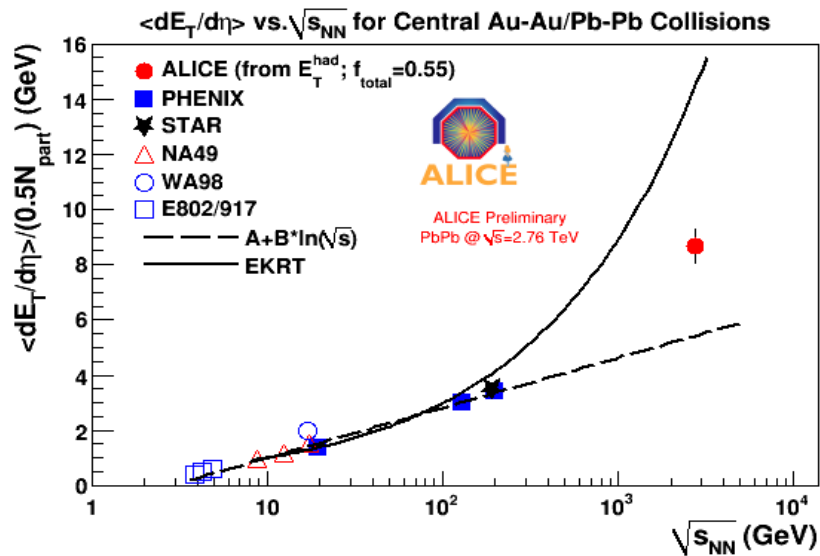
$1.9 \times$  pp (NSD) at 2.36 TeV

Crescita con  $\sqrt{s}$  piu' rapida in AA che in pp

Un semplice scaling logaritmico estrapolato da energie  
piu' basse non funziona

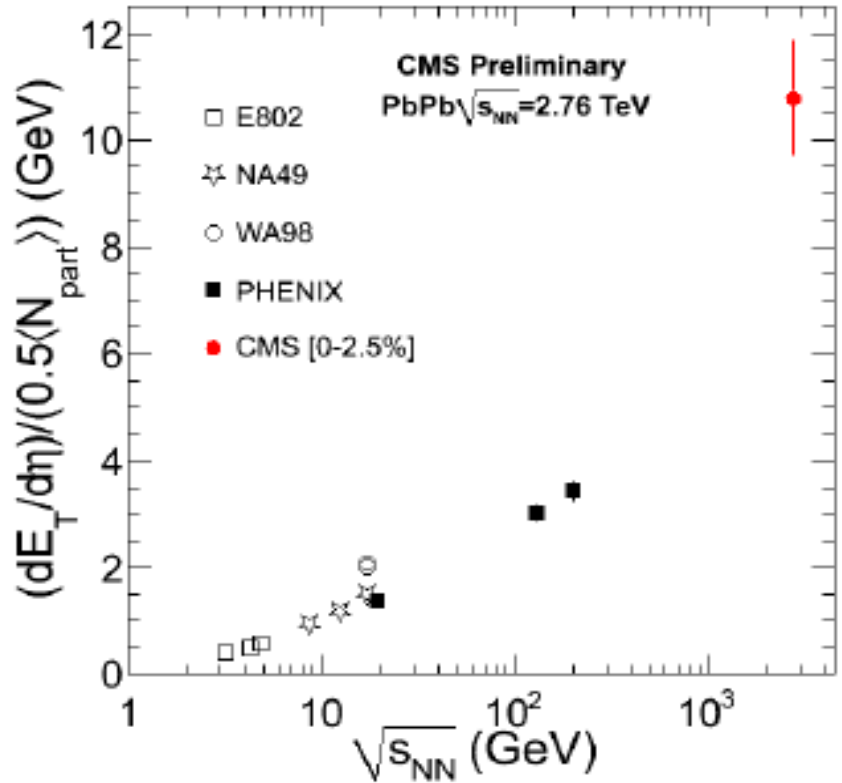


# Bulk properties – $dE_T/d\eta$ – dipendenza da $\sqrt{s}$



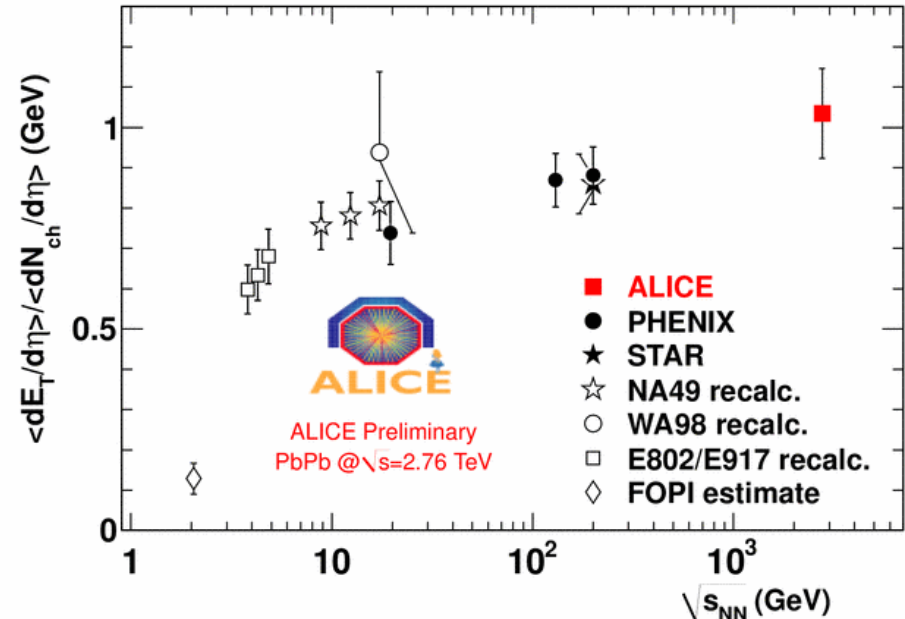
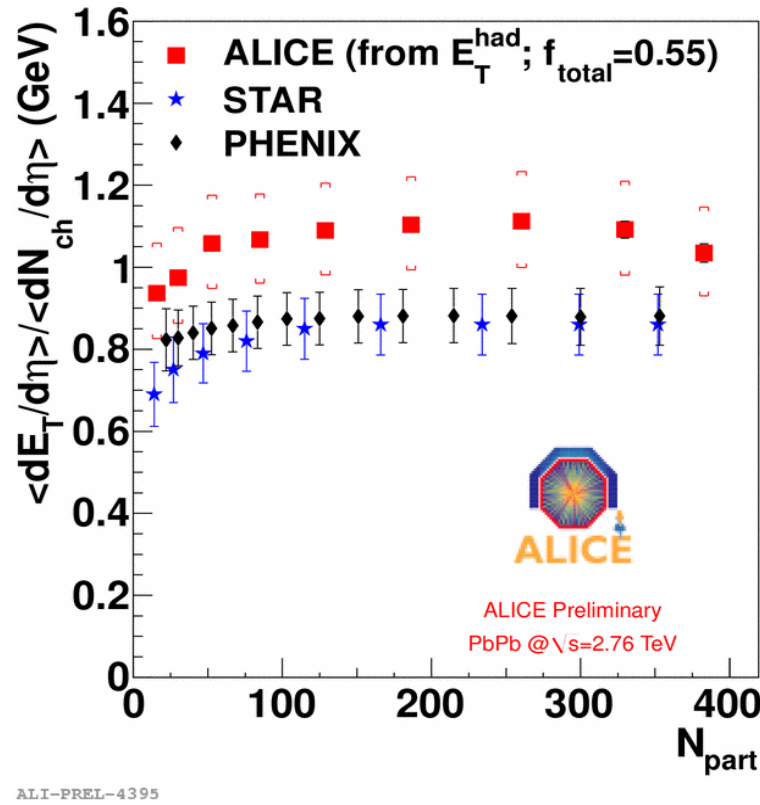
$$dE_T/d\eta/(0.5 \cdot N_{part}) \sim 9 \text{ in 0-5\%}$$

~5% aumento di  $N_{part}$  ( $353 \rightarrow 383$ )  
 $\rightarrow 2.7 \times$  RHIC  
 (consistente con un 20% di aumento di  $\langle p_T \rangle$ )



Rispetto a RHIC, aumento di  $3.4 \pm 0.4$ ;  
 confrontare con  $2.2 \pm 0.1$  per la molteplicita'

# Bulk properties – $E_T/N_{ch}$



Comportamento consistente di  $E_T$  e  $N_{ch}$

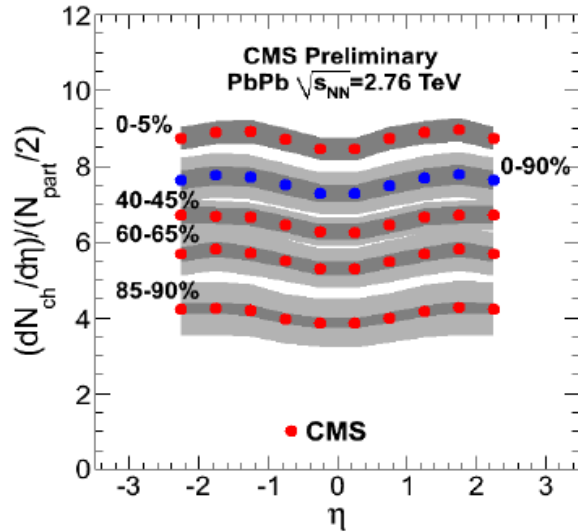
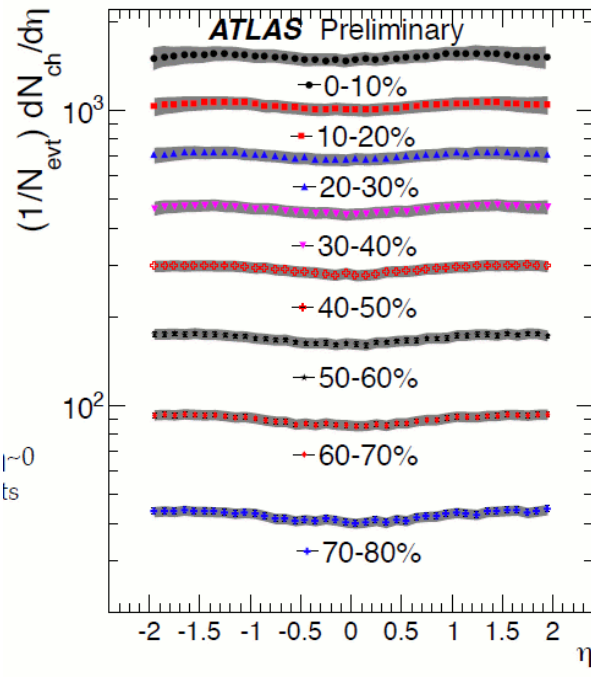
Entrambe aumentano con l' energia

Entrambe crescono da periferiche a centrali

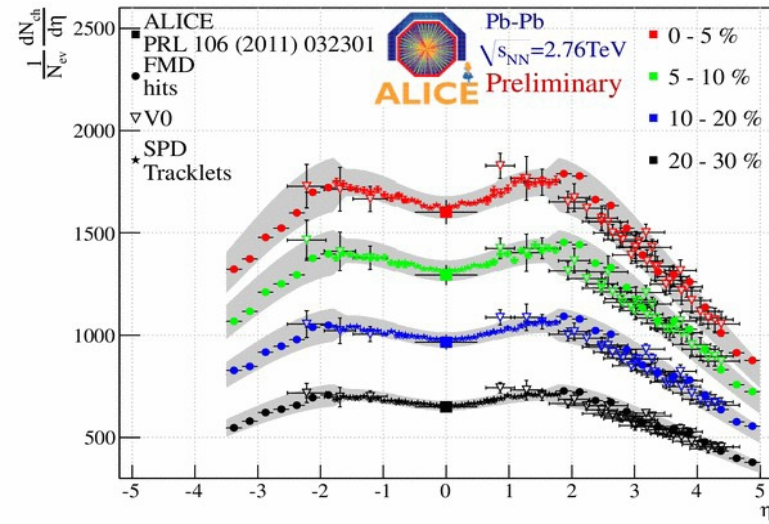
$E_T/N_{ch}$  indipendente dalla centralità

$E_T/N_{ch}$  cresce leggermente con l' energia

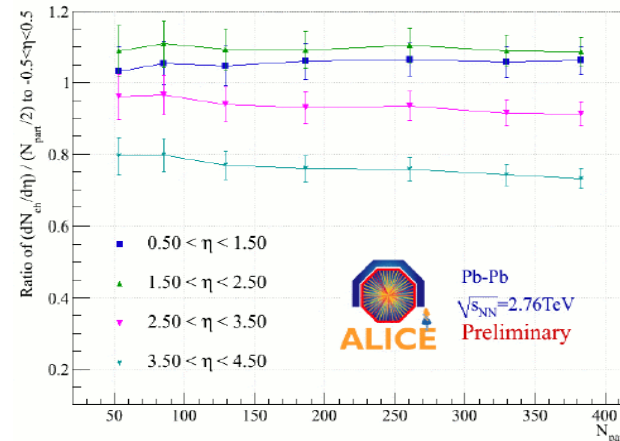
# Bulk properties – $dN_{ch}/d\eta$ – dipendenza da $\eta$



ad alta rapidita':  
proprietà dello stato iniziale (CGC, densità di gluoni)  
energy and baryon stopping



same trend in all  $\eta$  intervals



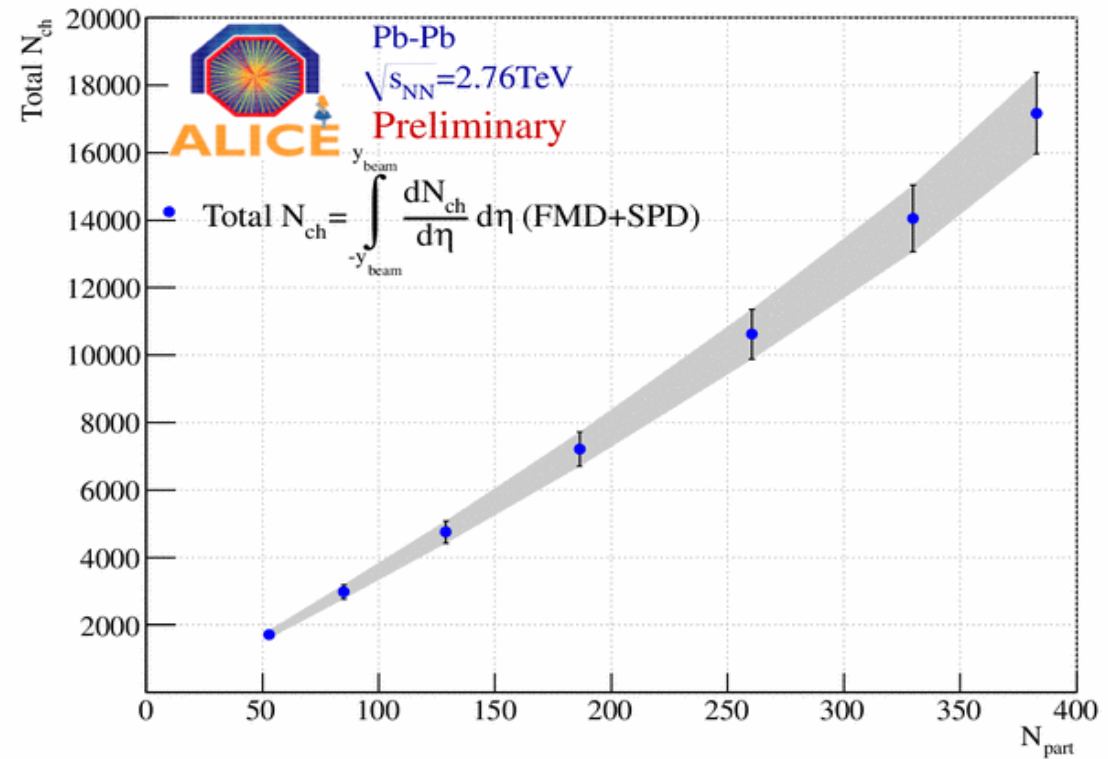
## Bulk properties – $N_{\text{total}}$

Misurata con estrapolazione in  $\eta - y_{\text{beam}} > -3$  (linear e double Gaussian)

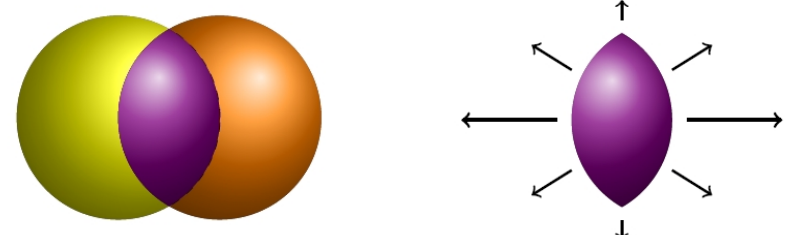
La molteplicità totale cresce in modo pressoche' lineare con  $N_{\text{part}}$

la distribuzione di pseudorapida' diventa piu' stretta per eventi centrali  
→ la maggior produzione di particelle avviene a mid-rapidity

@RHIC:  $N=4630$  in  $|\eta|<4.7$



Quando i nuclei collidono a parametro d' impatto diverso da zero, la **regione di overlap** e' **asimmetrica** e quindi la distribuzione iniziale della materia nel piano perpendicolare alla direzione dei fasci e' asimmetrica (c'e' un **gradiente di pressione anisotropo**).



In caso di **materia (fortemente) interagente =>** l' asimmetria spaziale viene convertita via collisioni multiple in una **distribuzione anisotropa dei momenti**. La **viscosita'** diminuisce l' efficienza della conversione.

Il momento seconde della distribuzione azimutale finale degli adroni viene chiamato **flusso ellittico**:

$$\text{Elliptic flow coefficient } dn/d\phi \sim 1 + 2 v_2(p_T) \cos(2\phi) + \dots$$

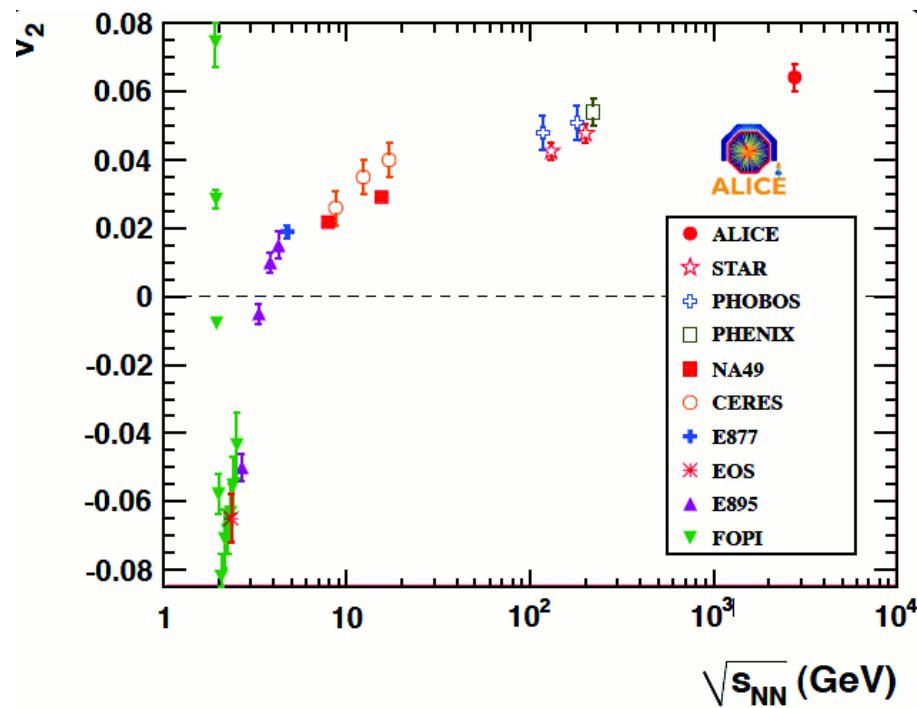
(angolo di azimuth misurato rispetto al piano d' interazione)

Date delle condizioni al contorno, il **profilo del "flow"** dipende dalla EoS e dalla viscosita  $\eta$  del fluido.

N.B. Nell' idrodinamica del liquido perfetto:  $\eta = 0$  (viscosita nulla).

## RHIC Scientists Serve Up “Perfect” Liquid

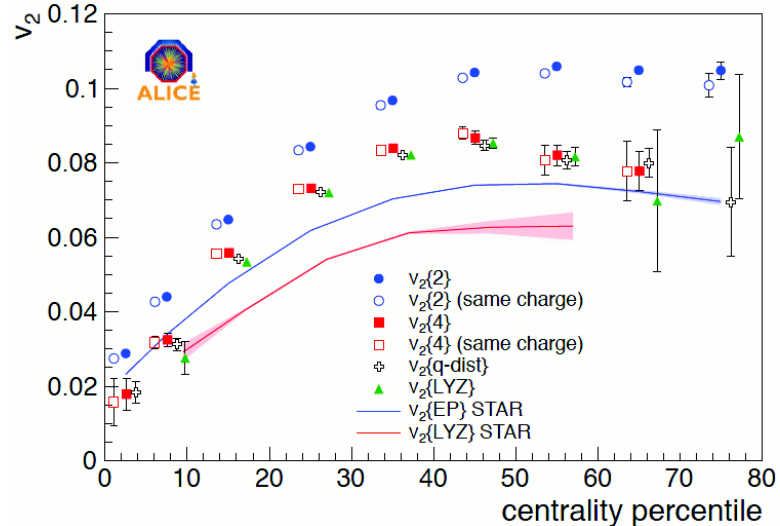
New state of matter more remarkable than predicted - raising many new questions - April 18, 2005



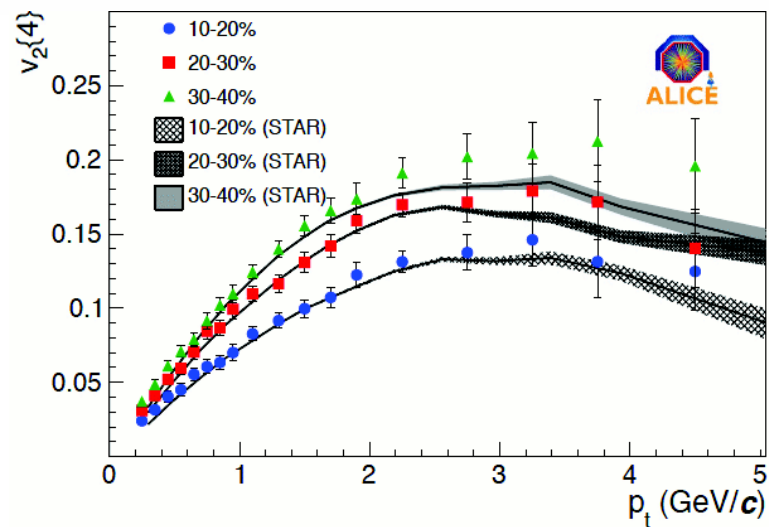
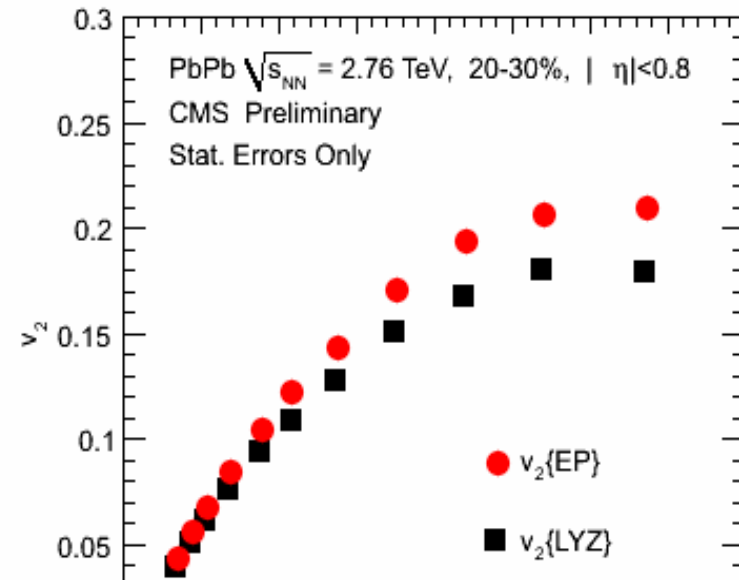
Il sistema prodotto a LHC si comporta come un fluido con viscosita' molto bassa

# elliptic flow @LHC

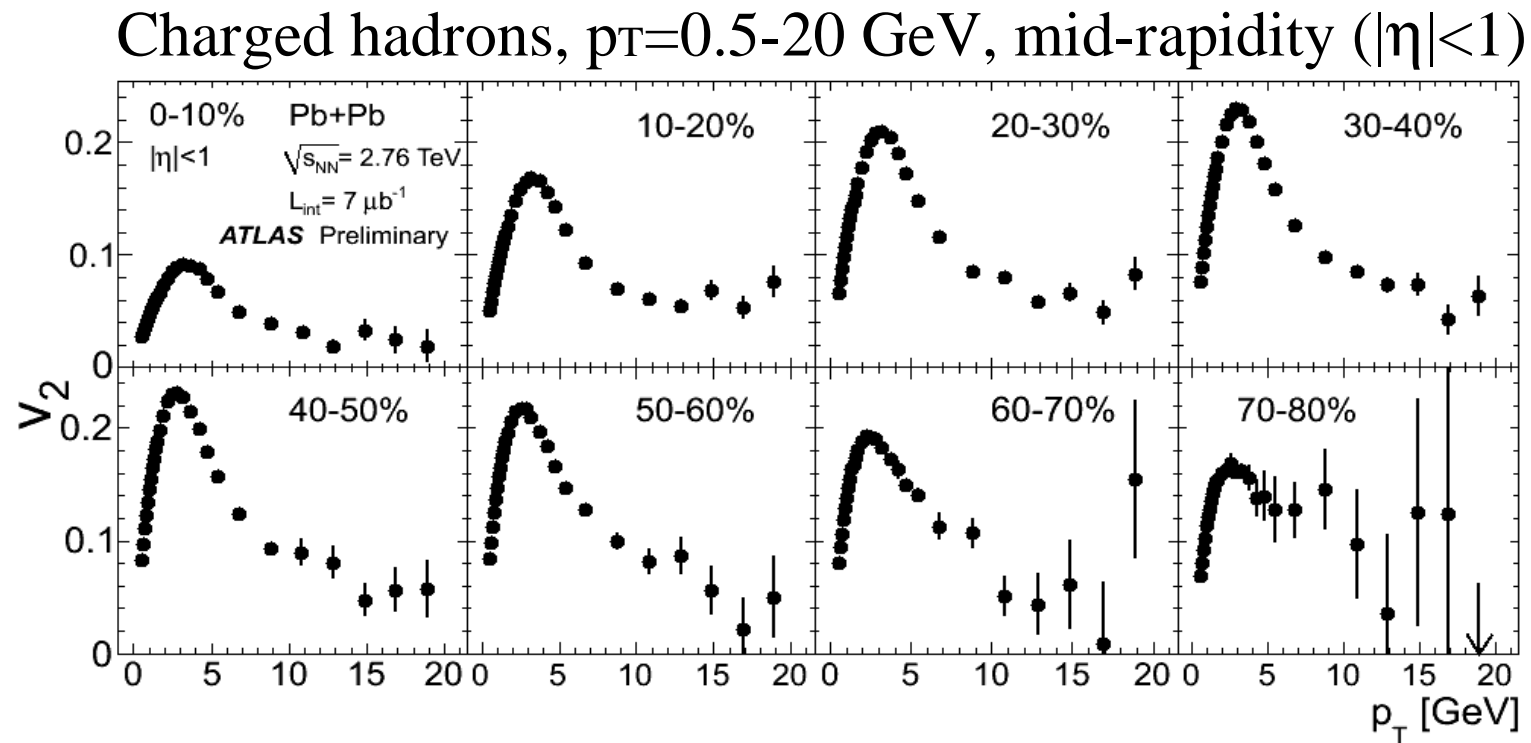
$v_2$  aumenta fino al 30% per collisioni piu' periferiche



$v_2$  in funzione di  $p_T$  non cambia molto da RHIC a LHC



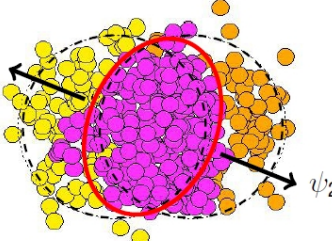
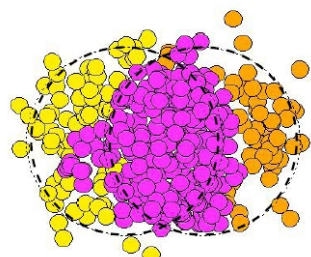
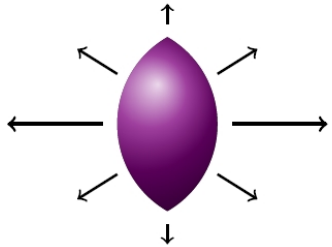
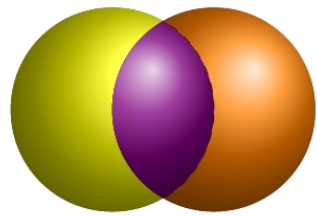
$v_2$  misurato fino ad un  $p_T$  di 20 GeV/c



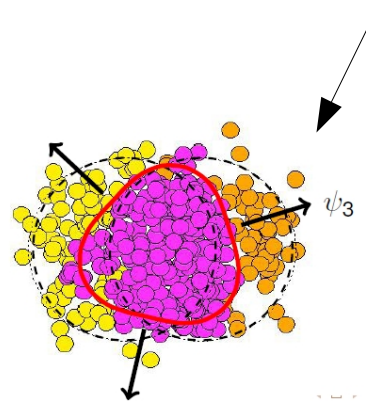
la dipendenza da  $p_T$  e' debole tra 8-10 e 20 GeV/c

@alto  $p_T$ : opacita' del mezzo  $\Rightarrow$  constraint sui modelli per jet quenching

# HI physics: flow fluctuations



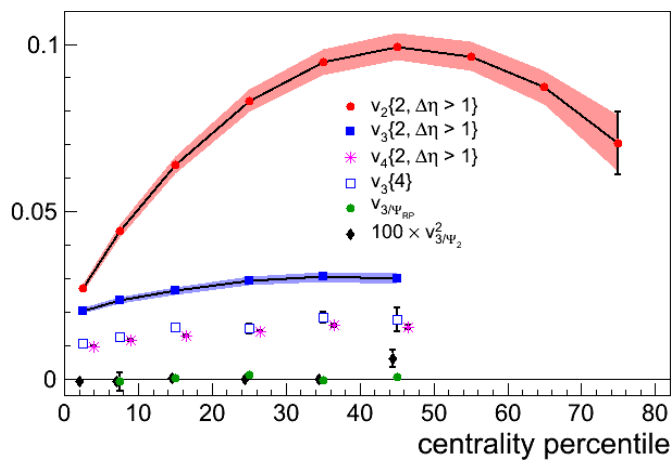
Le fluttuazioni rompono la simmetria  $\varphi \rightarrow -\varphi$   
e  $\varphi \rightarrow \pi - \varphi$ : le armoniche dispari  $v_1, v_3 \neq 0$



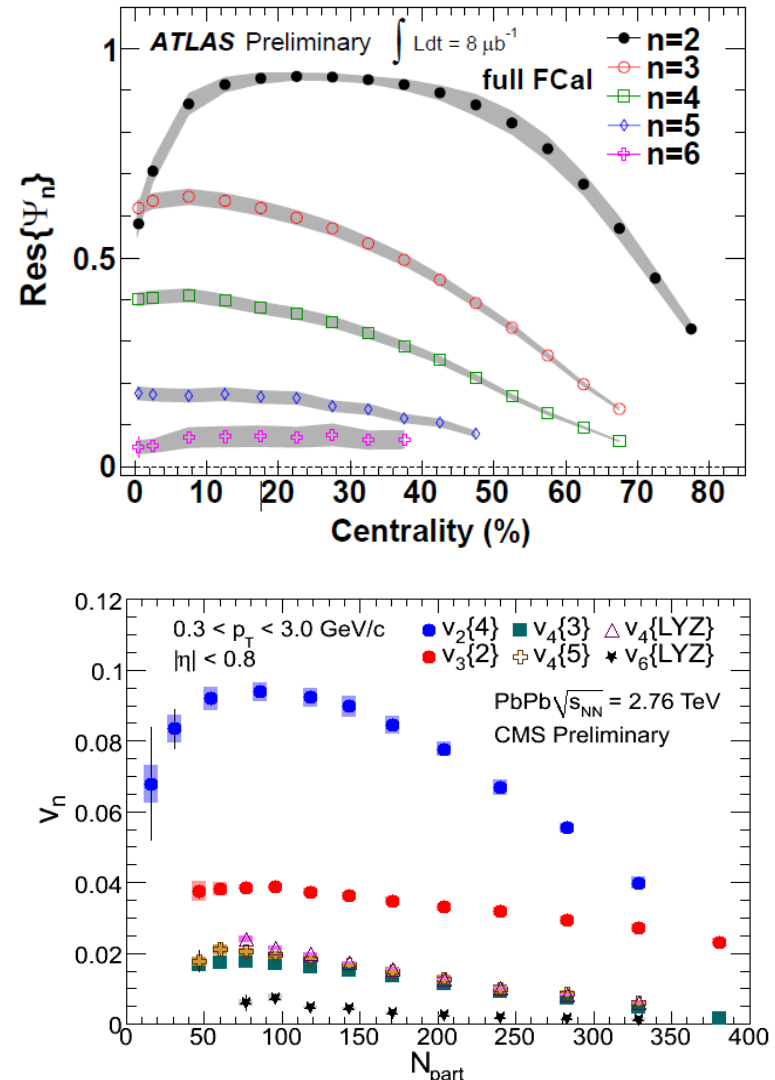
A causa di fluttuazioni di stato iniziale, il flusso ellittico in realta' e' nel piano dei partecipanti e non nel piano della reazione

# triangular flow @LHC

Si osserva un flusso triangolare  $v_3$  ( $v_n$ ) significativo  
La dipendenza dalla centralità di  $v_2$  e  $v_3$  è diversa



Il flusso triangolare  $v_3$  misurato rispetto al piano  
di reazione è consistente con zero  $\Leftarrow v_3$  dovuto  
a fluttuazioni della eccentricità iniziale



## triangular flow @LHC

Flusso ellittico integrato a LHC e' piu' grande che a RHIC di circa il **30%**, compatibile con stime dai modelli idrodinamici

La dipendenza da  $p_T$  del flusso ellittico e' simile a LHC e a RHIC => l' aumento del 30% del flusso integrato flow e' dovuto ad un **aumento del flusso radiale**

Il **flusso triangolare** e' significativo, la sua dipendenza dalla centralita' e' in accordo con le predizioni idrodinamiche

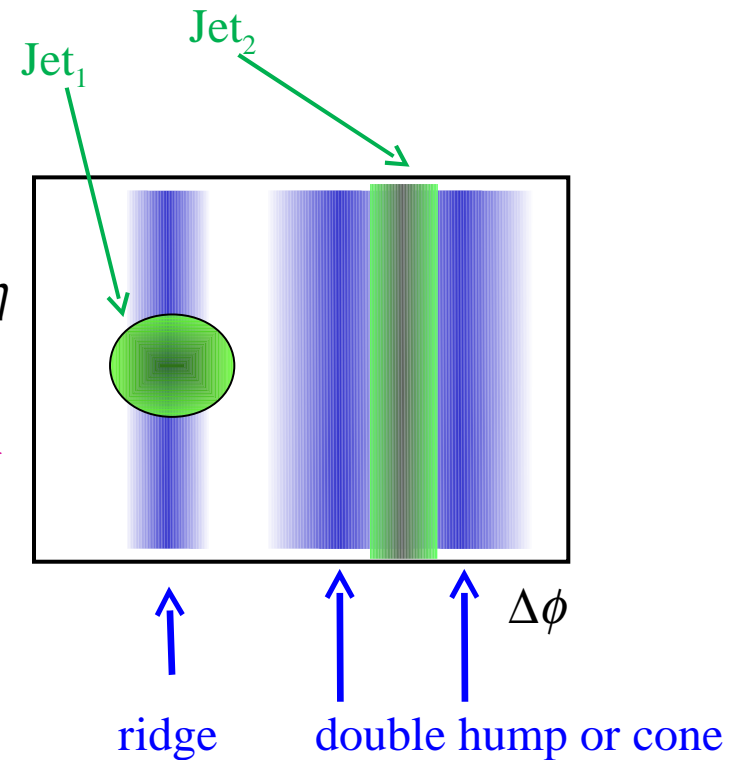
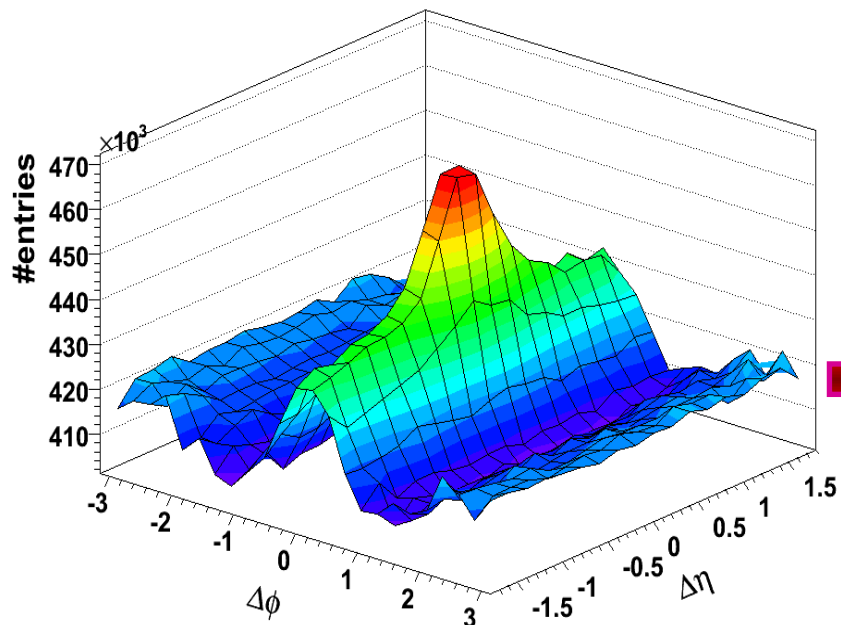
Ogni armonica ha il suo **piano dei partecipanti** lungo il quale si sviluppa; il piano dei partecipanti di  $v_2$  e' diverso da quello di  $v_3$

$v_3$  e' originata principalmente da **fluttazioni evento per evento della geometria spaziale iniziale**

Predizioni idrodinamiche con condizioni iniziali alla Glauber non descrivono simultaneamente i dettagli della dipendenza da  $p_T$  di  $v_2$  e  $v_3$ :  $v2(p_T)$  e' meglio descritto con  **$\eta/s = 0$** , mentre per  $v3(p_T)$   **$\eta/s = 0.08$**

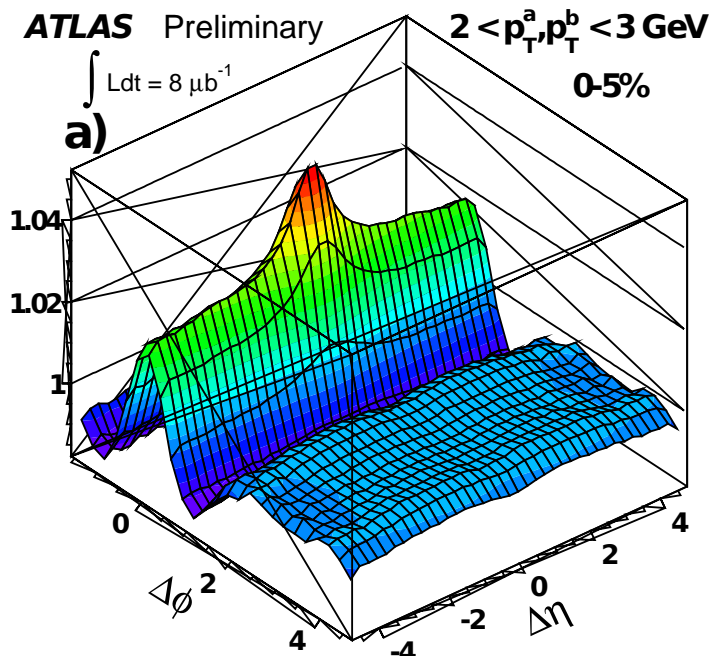
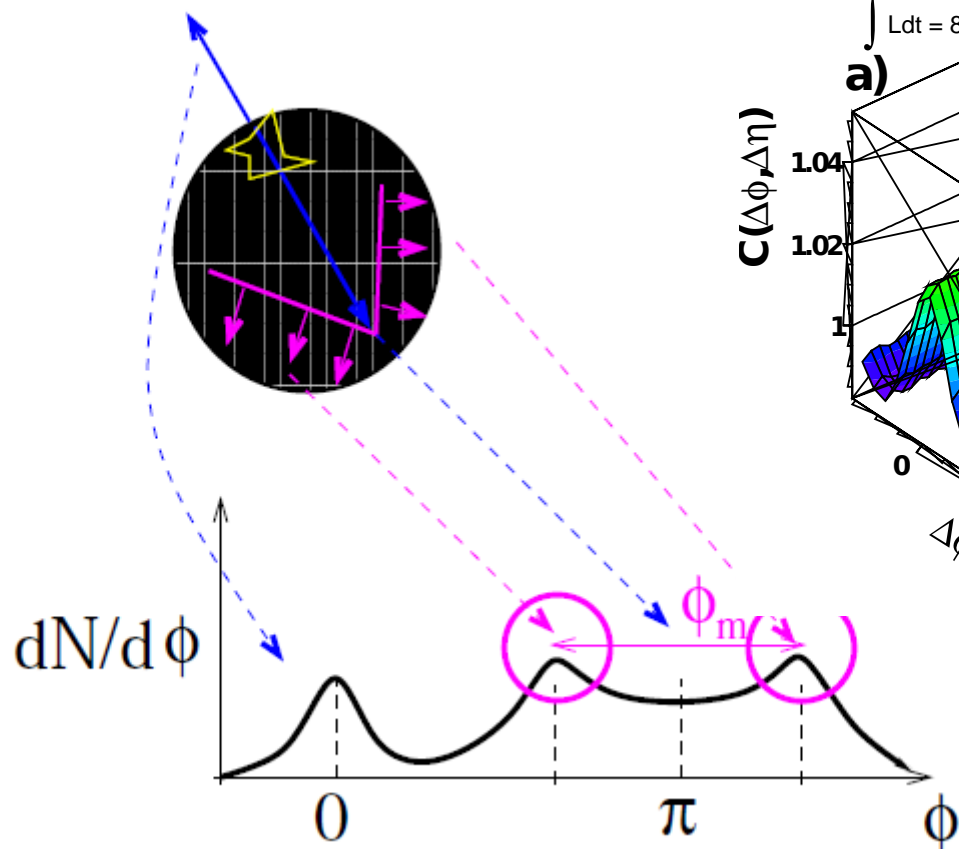
# HI physics: correlations

Long range structure at RHIC and LHC



Sono dovute a interazioni “jet-mezzo” o a “fluttuazioni+flow”?

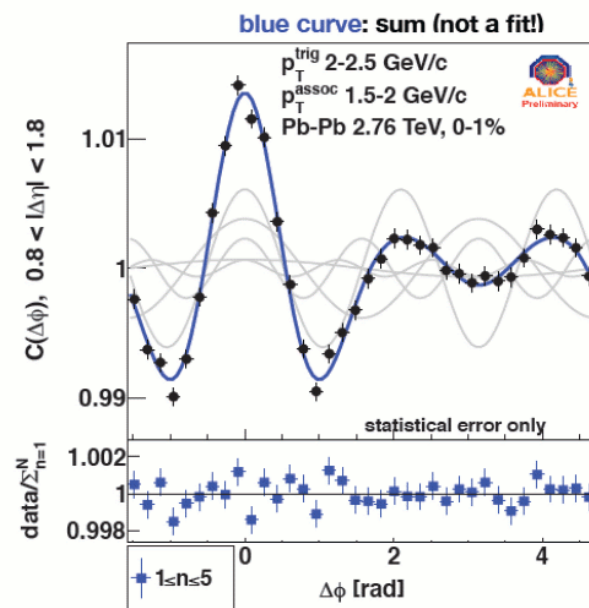
Qual'e' l' origine di “ridge” and “cone” nelle correlazioni di 2P ?



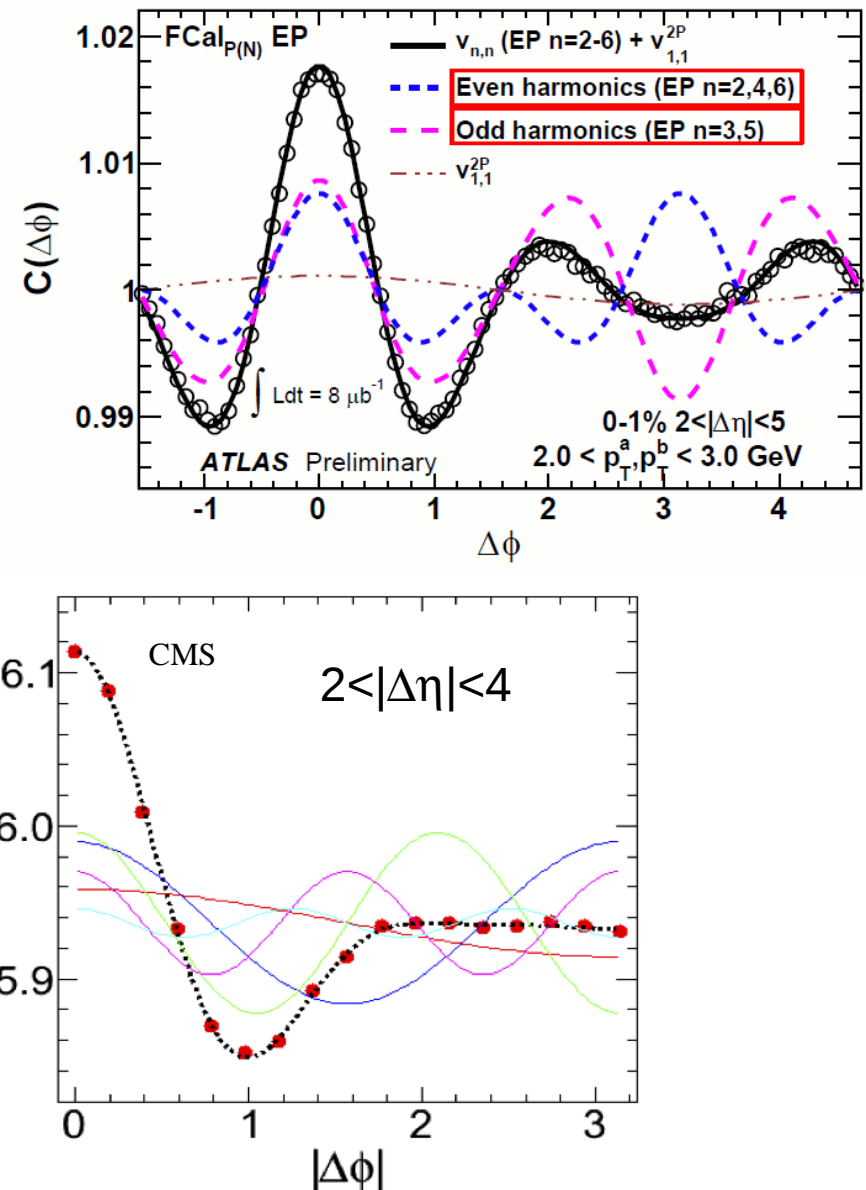
Mach cones in the fluid phase of the system are a generic prediction of a medium characterized by low viscosity and a high opacity to hard probes

# Correlations @LHC

Date fluttuazioni geometriche iniziali + piccola viscosita' del mezzo



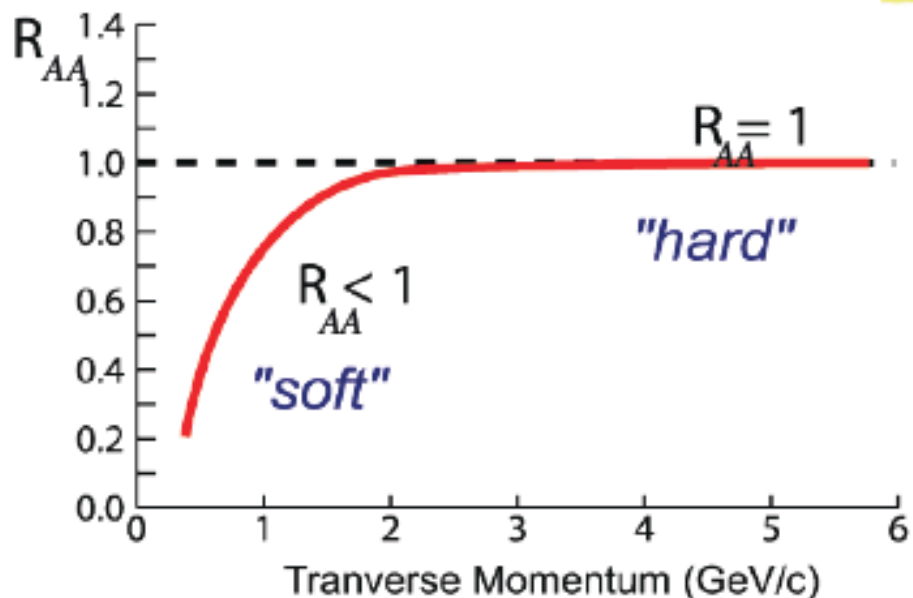
long range “ridge” e “cone” nelle correlazioni di 2P possono essere spiegate da  $v_n$  ( $n=5-6$ )



$R_{AA}$  = medium/vacuum

$$R_{AA}(p_T) = \frac{d^2 N^{AA} / dp_T d\eta}{T_{AA} d^2 \sigma^{NN} / dp_T d\eta}$$

$$\langle N_{\text{binary}} \rangle / \sigma_{\text{inel}}^{\text{p+p}}$$



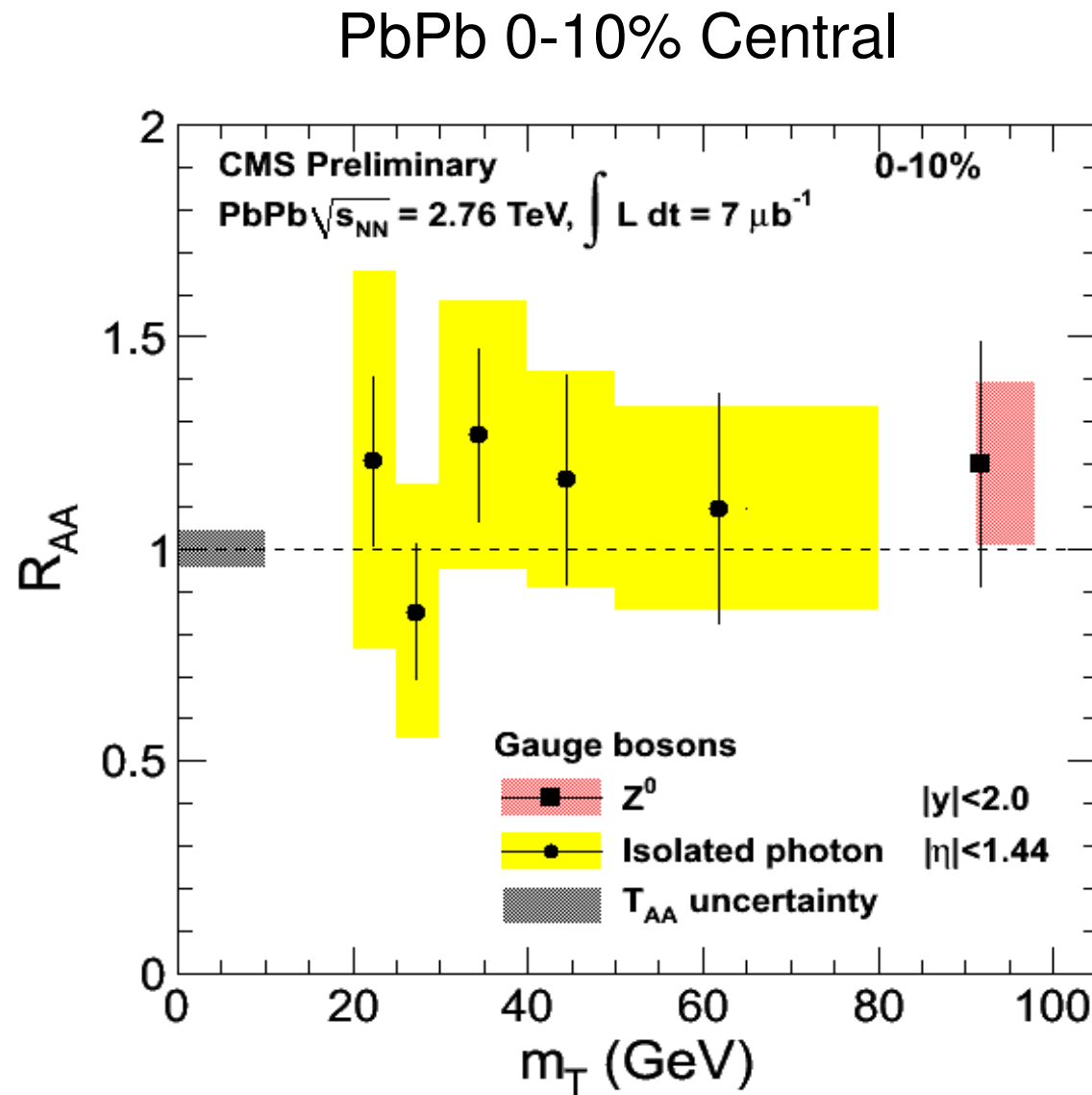
no medium effects:

$R_{AA} < 1$  in regime of soft physics

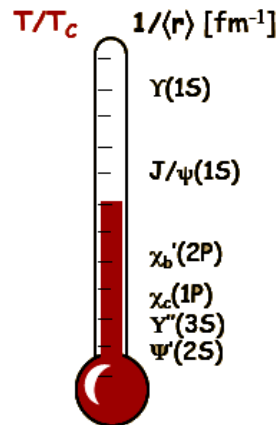
$R_{AA} = 1$  at high- $p_T$  where hard scattering dominates

Suppression:

$R_{AA} \ll 1$  at high- $p_T$



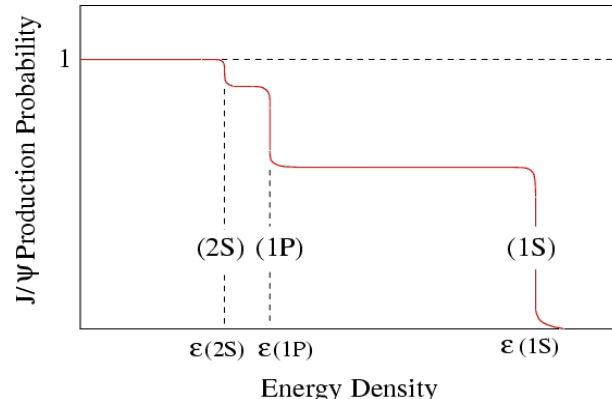
# HI physics: Quarkonia



Debye screening nella fase deconfinata

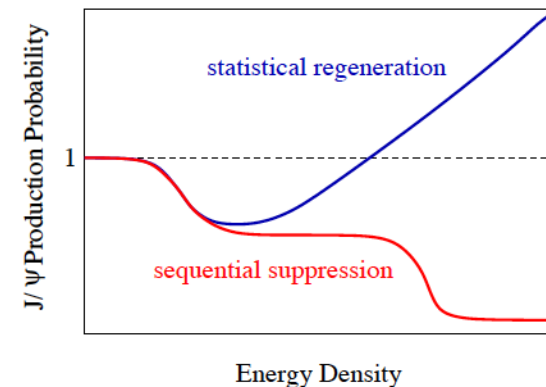
$\Rightarrow$  melting

Differenti energie di legame per i vari stati + feed down  $\Rightarrow$  **melting sequenziale**



Puzzle:

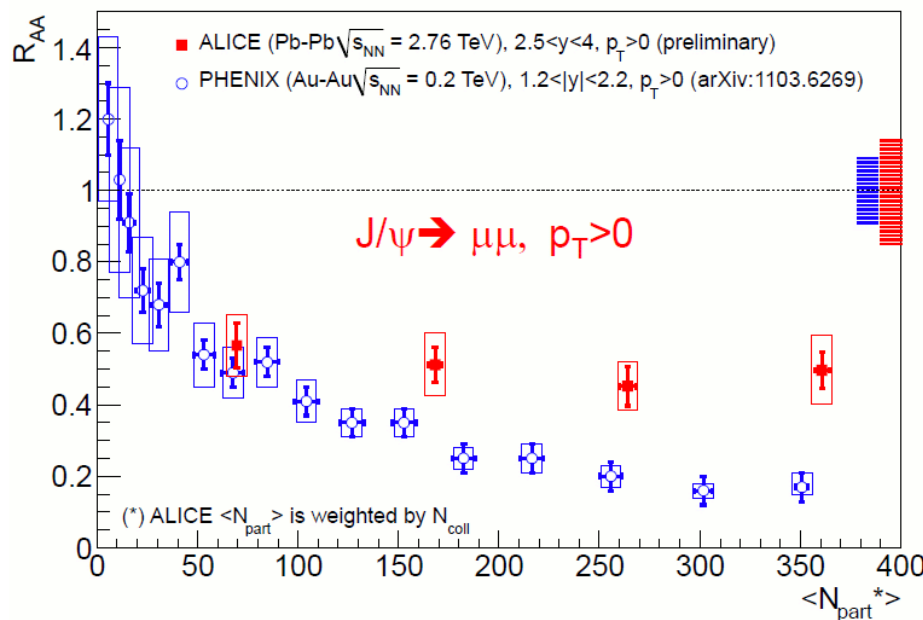
- Soppressione oltre quanto previsto per effetti di cold nuclear matter non molto grande a RHIC. **Rigenerazione ?**
- RHIC misura a rapidita' forward una soppressione maggiore che a rapidita' centrali



# Quarkonia: J/ $\psi$ R<sub>AA</sub> @LHC

ALICE: J/ $\psi$  R<sub>AA</sub> a LHC ( $2.5 < y < 4$ ) maggiore che a RHIC ( $1.2 < |y| < 2.2$ )

R<sub>AA</sub> e' simile a RHIC ( $|y| < 0.35$ ) tranne che nel bin piu' centrale

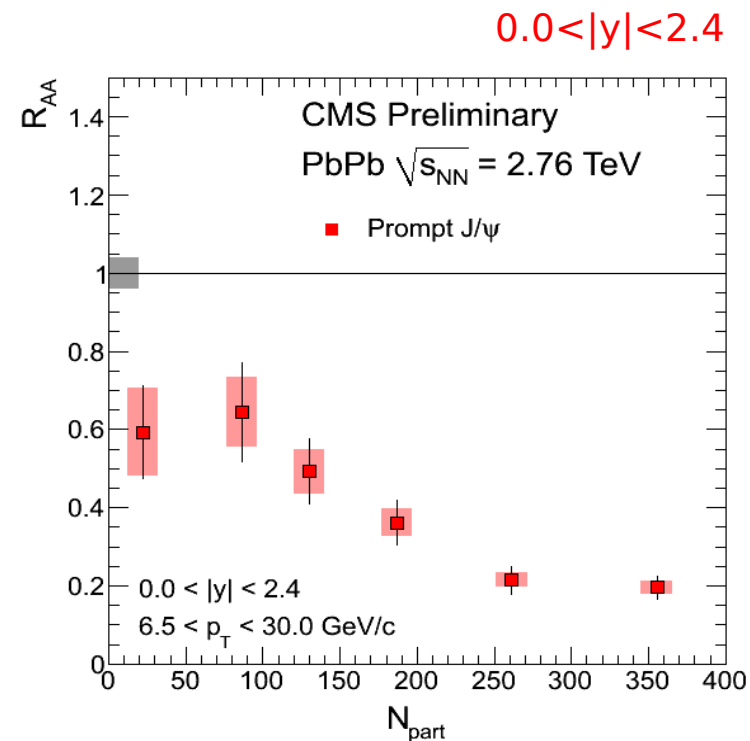


ALICE Low  $p_T$   
J/ $\psi$

$$R_{\text{AA}} = 0.49 \pm 0.03 \pm 0.11$$

CMS for  $p_T > 3 \text{ GeV}/c$      $1.6 < y < 2.4$

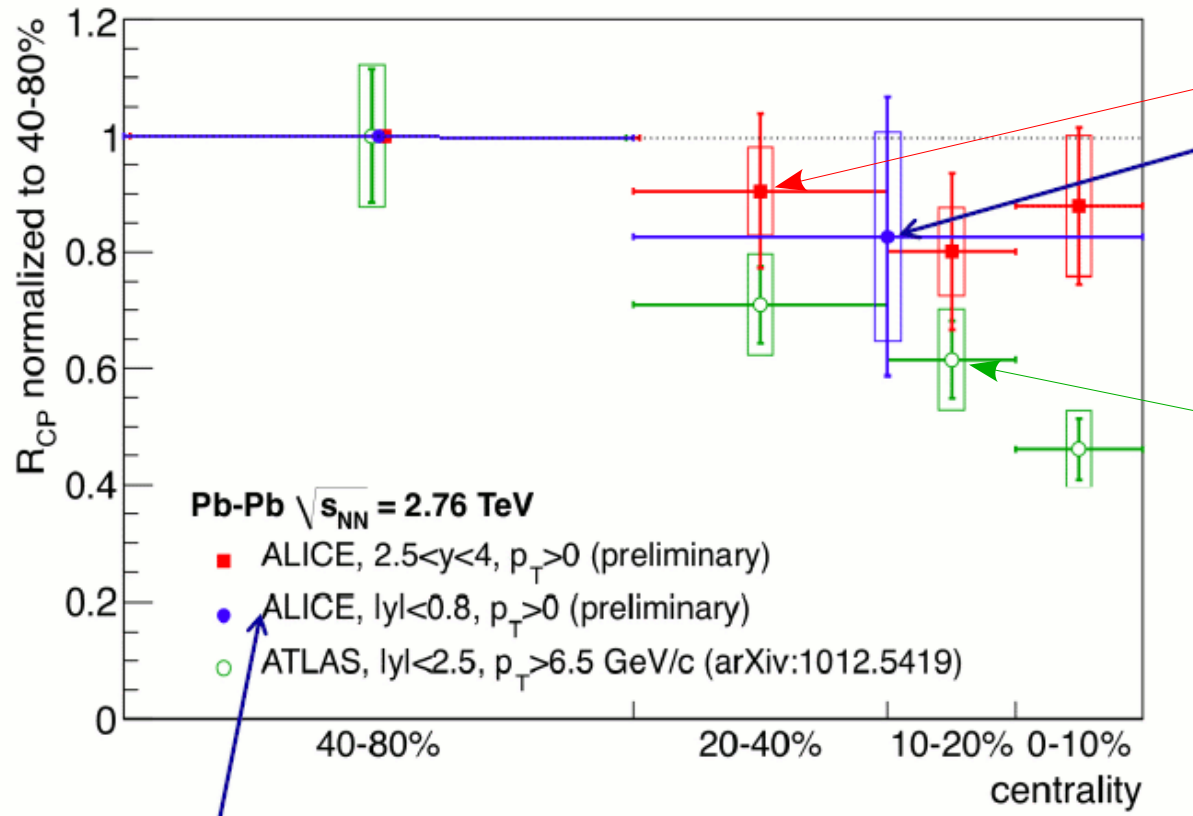
$$R_{\text{AA}} = 0.39 \pm 0.06 \pm 0.03$$



CMS: Central 0-10%  $R_{\text{AA}} = 0.20 \pm 0.03 \pm 0.01$

Peripheral 50-100%  $R_{\text{AA}} = 0.59 \pm 0.12 \pm 0.10$

« Peripheral » reference 40-80% centrality bin



ALICE, misura problematica nel canale ee

ALICE  $2.5 < y < 4.0$  meno soppressione di ATLAS (high  $p_T$ ,  $|y| < 2.4$ )

ALICE:

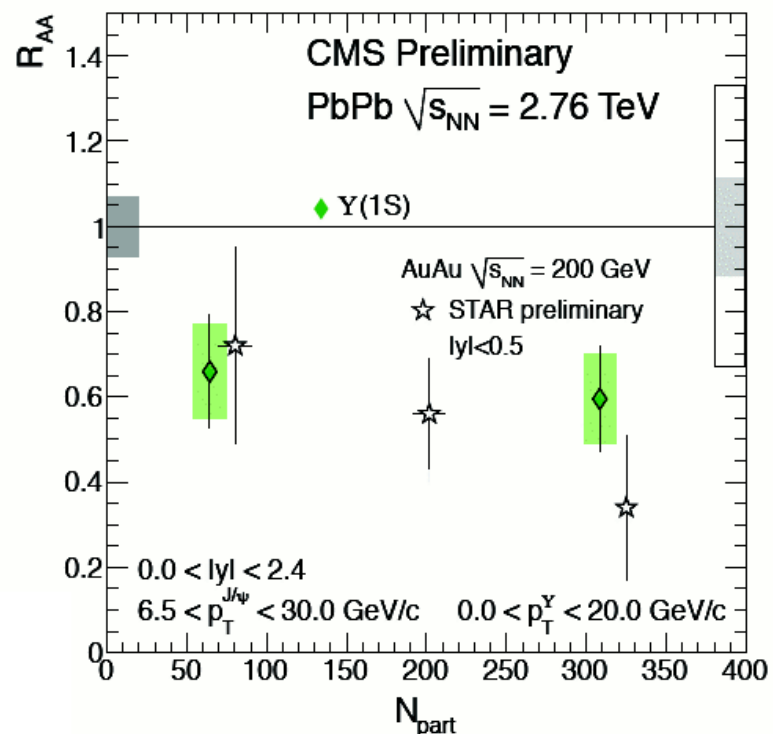
- $- 2.5 < y < 4.0$ ;
- $- |y| < 0.8$
- $- p_T \geq 0 \text{ GeV}/c$ ;

ATLAS:

- $- |y| < 2.4$
- $- 80\% \text{ J}/\psi$ ,
- $- p_T \geq 6.5 \text{ GeV}/c$ ;
- Error in 40-80% centrality bin not propagated.

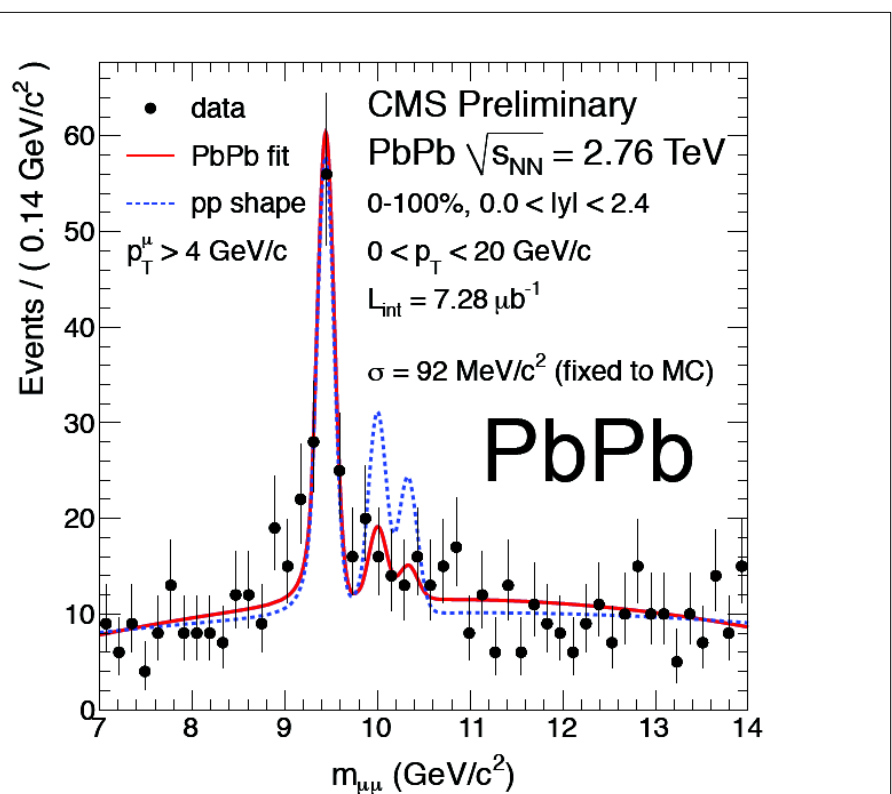
# Quarkonia: $\Upsilon R_{AA}$ @LHC

CMS:  $\Upsilon(1S)$   $R_{AA} = 0.62 \pm 0.11 \pm 0.10$   
 STAR:  $\Upsilon(1+2+3S)$   $R_{AA} = 0.56 \pm 0.11^{+0.02}_{-0.10}$



L' osservazione e' forse consistente  
 con il melting solo degli stati eccitati

Una gran parte della  $\Upsilon(1S)$  viene da stati eccitati

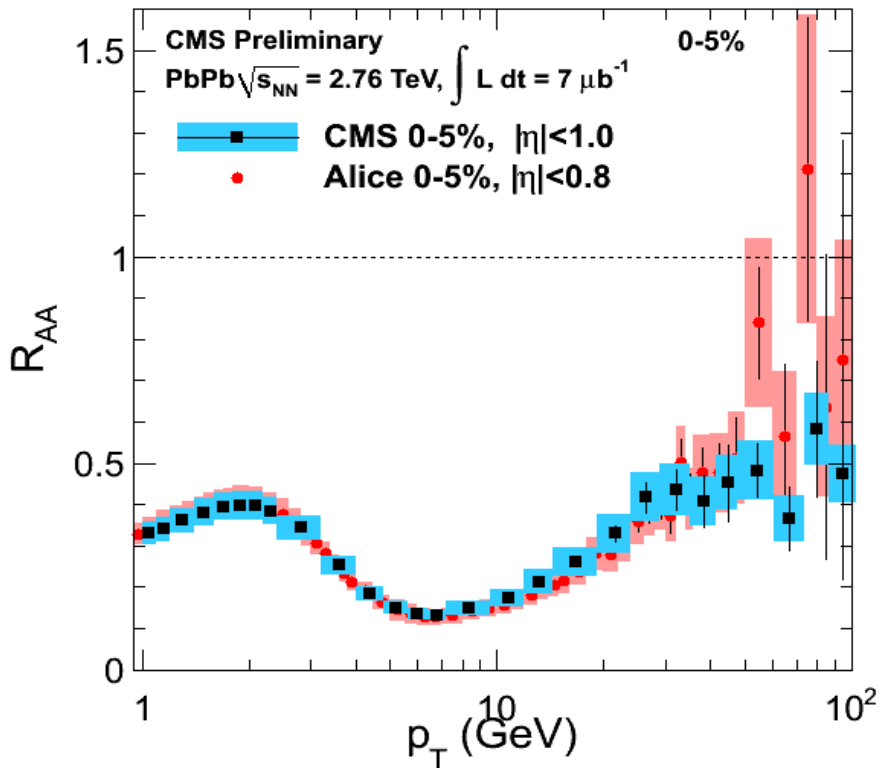


$$\frac{\Upsilon(2S+3S)/\Upsilon(1S)|_{\text{PbPb}}}{\Upsilon(2S+3S)/\Upsilon(1S)|_{\text{pp}}} = 0.31^{+0.19}_{-0.15} \pm 0.03$$

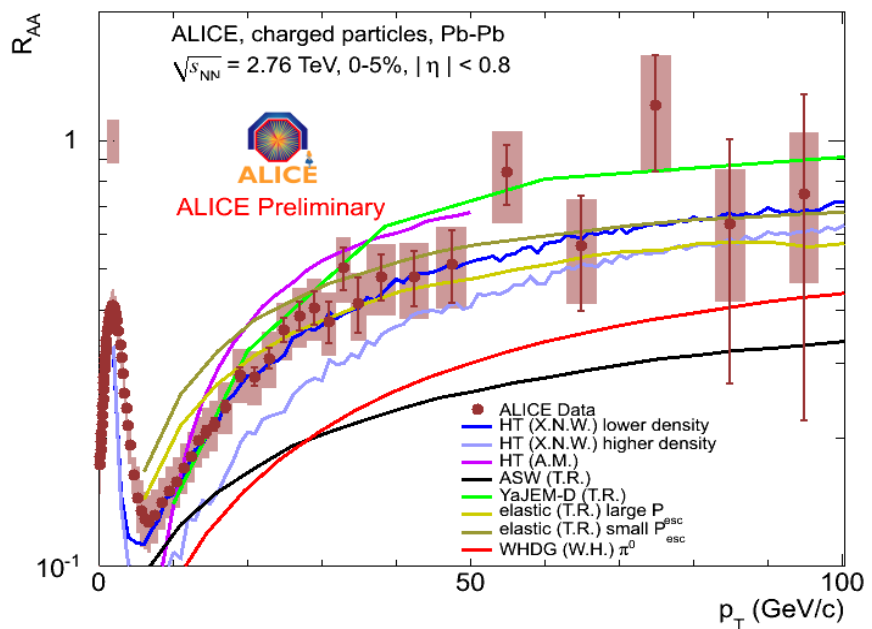
Significance of the suppression  $2.4\sigma$

# High $P_T$ suppression: hadron $R_{AA}$ at LHC

Forte soppressione delle particelle cariche a  $p_T < 50 \text{ GeV}/c$



Pronunciata dipendenza di  $R_{AA}$  da  $p_T$



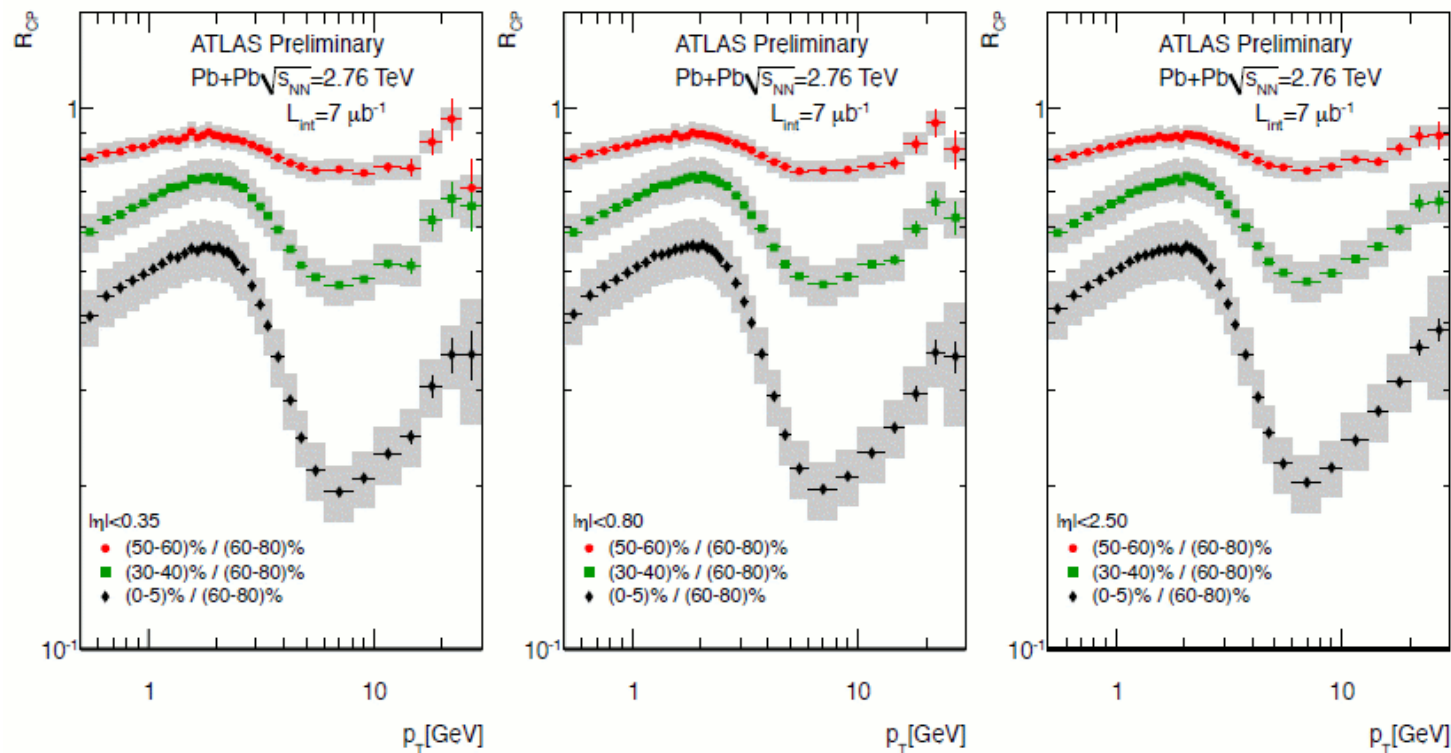
Sensibilita' ai dettagli della perdita di energia

utile studiare particelle identificate per studiare la perdita di energia dei quark e quella dei gluoni, i meccanismi di ricombinazione a  $p_T$  intermedi, ....

# High $P_T$ suppression: hadron $R_{CP}$ at LHC

Piu' forte soppressione negli eventi piu' centrali, almeno a  $p_T < 50$  GeV/c

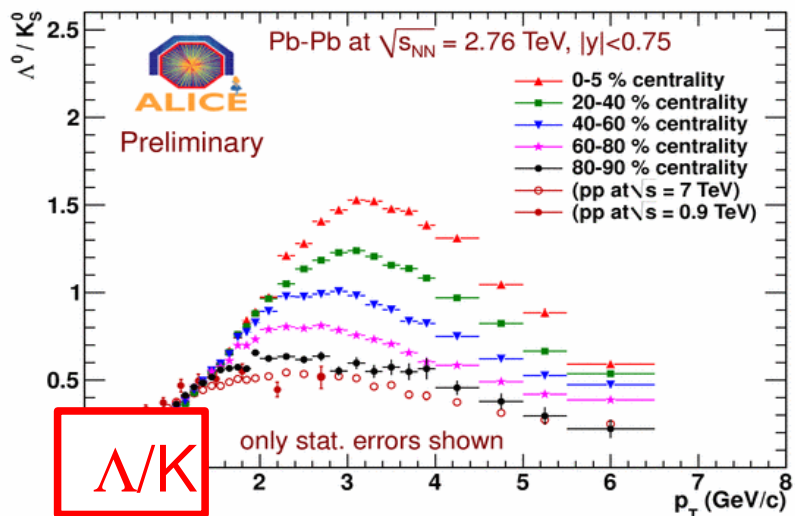
Il confronto con RHIC suggerisce che la soppressione scali con la densita' di particelle cariche



Non si osserva una dipendenza della soppressione da  $\eta$

# Identified particles @LHC

$\pi^+ + \pi^-$ ,  $K^+$  vs  $K_s^0$ ,  $p$  vs  $\Lambda$ , rapporti barioni/mesoni, ...

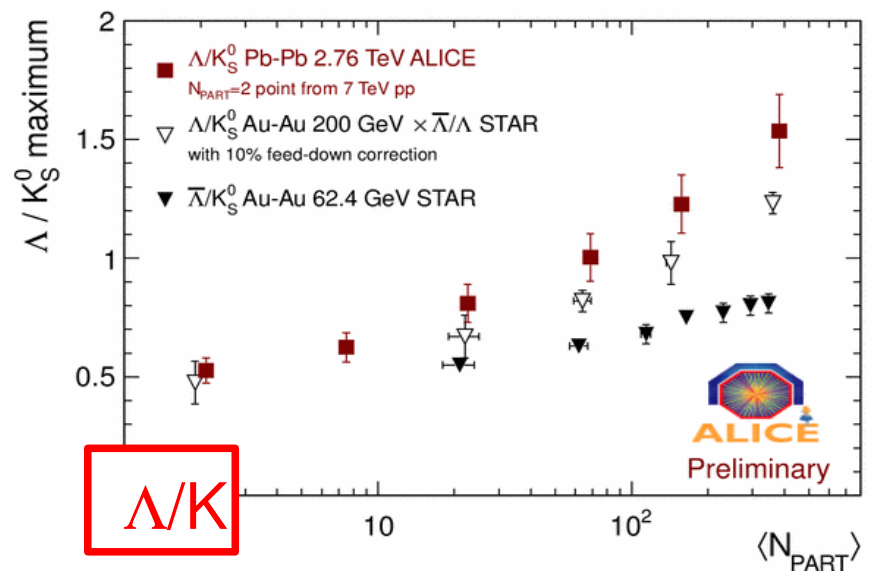


Massimo di  $\Lambda/K$  a  $p_T >$  RHIC: maggior flusso radiale ?

Tutti i rapporti +/- compatibili con 1 a tutte le centralita', come atteso alle energie di LHC

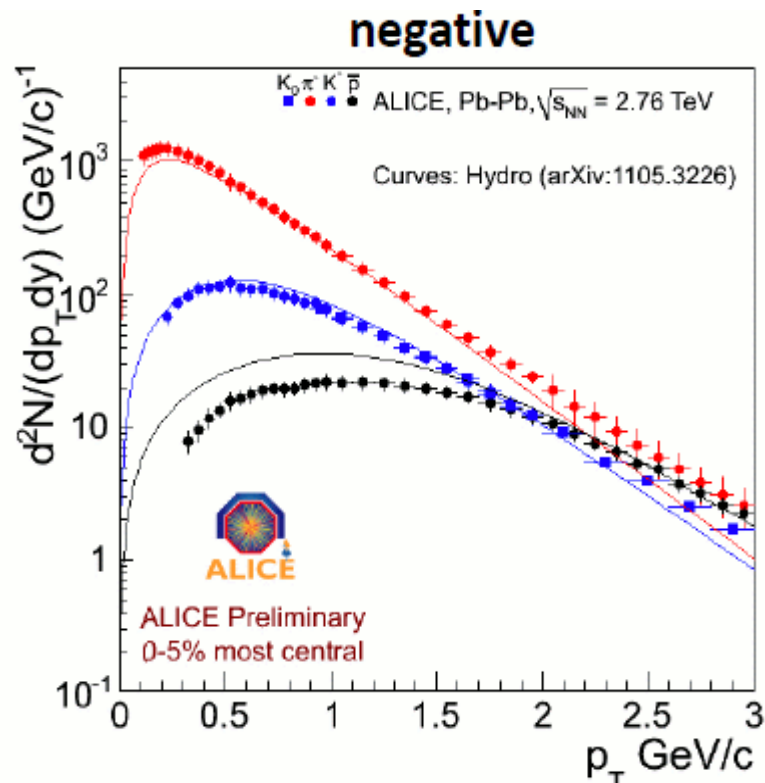
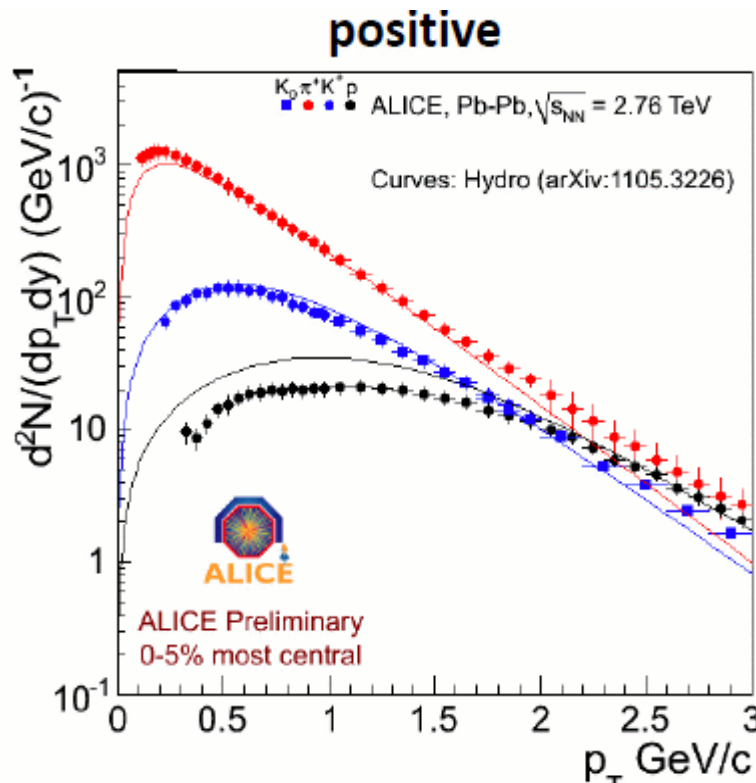
Barioni prodotti maggiormente a  $p_T$  intermedi

Rapporto barioni/mesoni aumenta con la centralita'  $\rightarrow$  ricombinazione ?



# Identified particles @LHC

Spettro dei p molto piu' piatto a basso  $p_T$  → push sui p dovuto al flow radiale ???



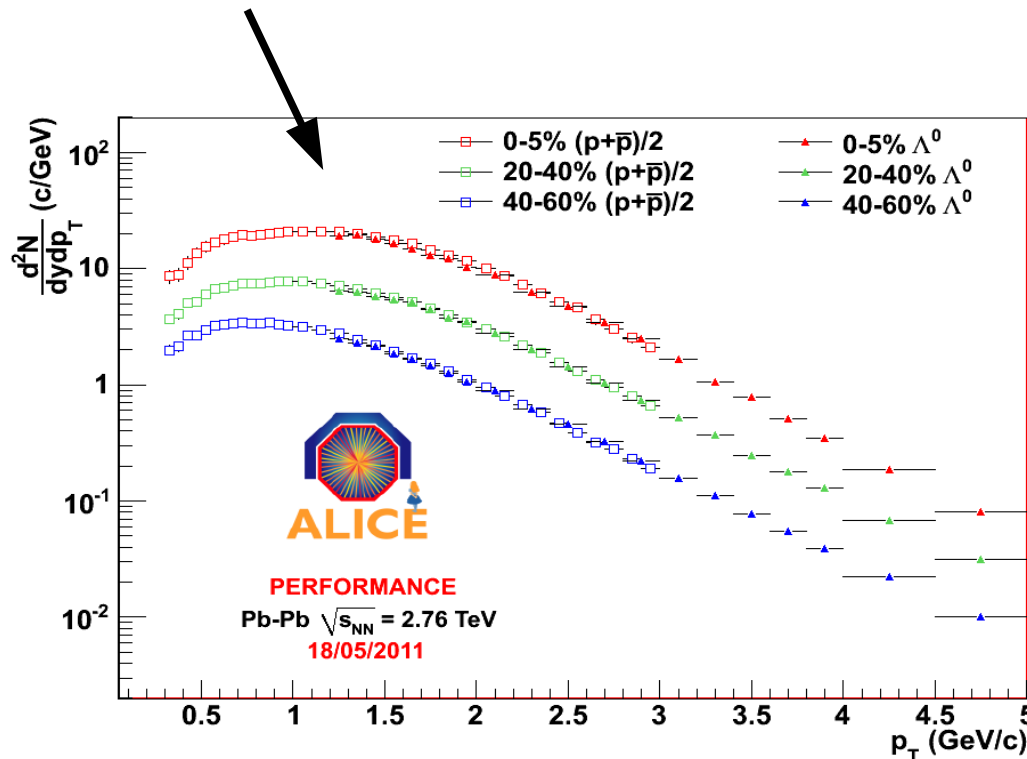
In generale, spettri piu' duri delle previsioni: flow maggiore ?

il  $p_T$  medio aumenta linearmente con la massa

a parita' di  $dN/d\eta$ , il  $p_T$  medio e' maggiore che a RHIC

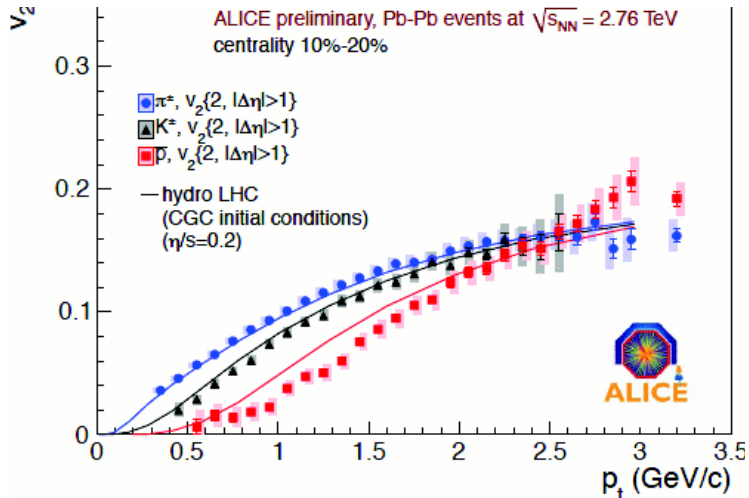
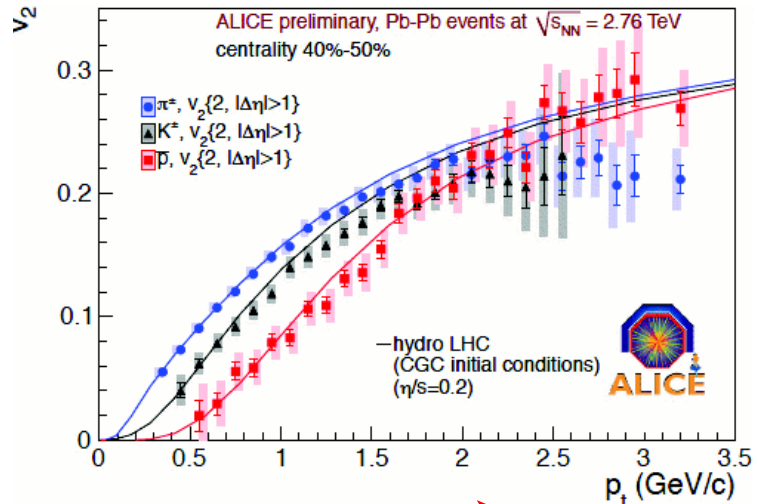
# Identified particles @LHC

Lambda **molto simili** ai protoni in shape e yield (e  $p/\pi$  si comporta come  $\Lambda/K$ )



$p/\pi \approx 0.05$  in pp and PbPb (difficile da capire in modelli termici con  $T = 160-170 \text{ MeV}$ )

# $v_2$ for identified particles @LHC



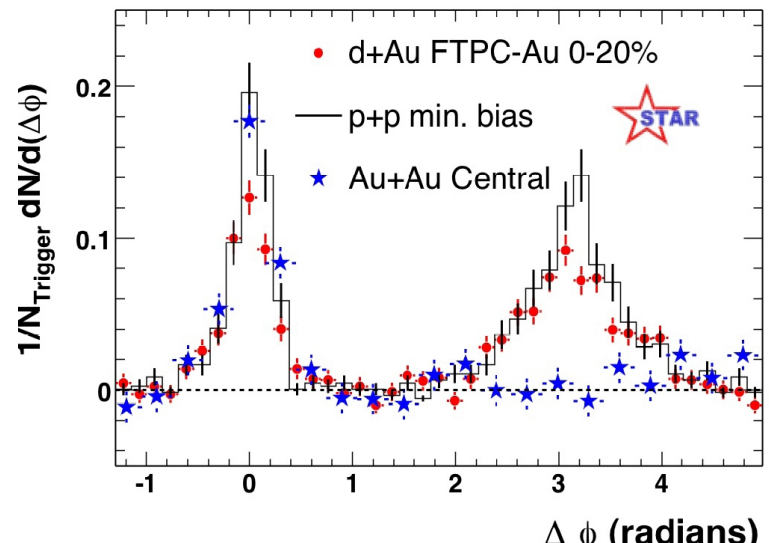
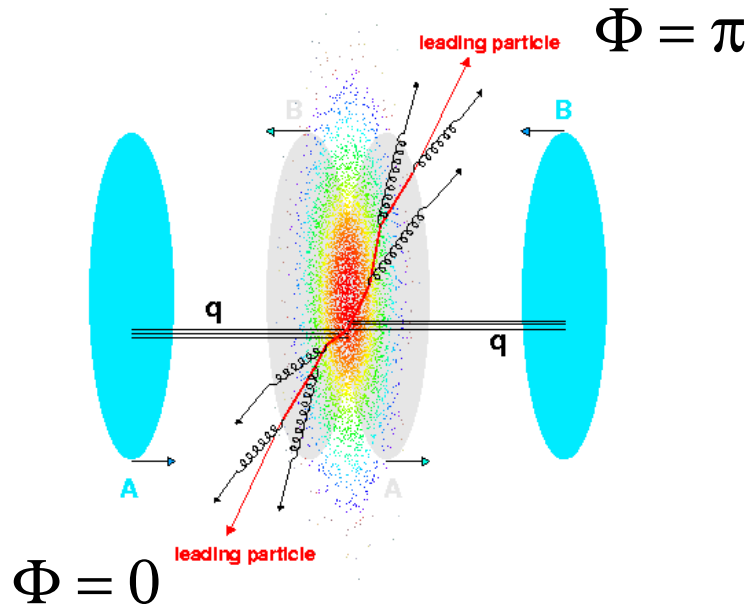
I modelli idrodinamici prevedono mass splitting

I dati mostrano mass splitting

L' accordo coi modelli e' buono per collisioni semicentrali

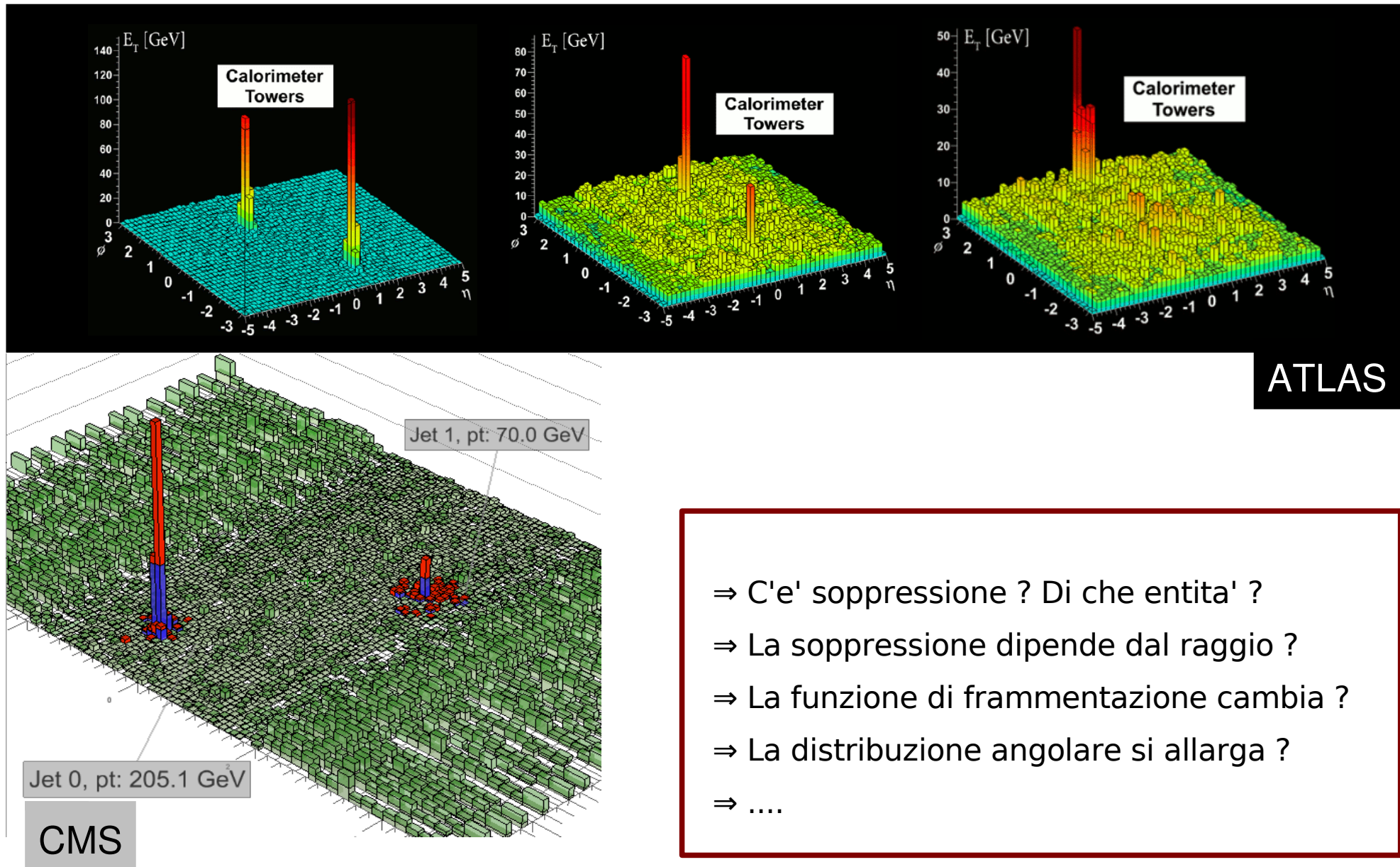
Il flusso degli antiprotoni in collisioni piu' centrali non e' descritto dagli stessi modelli

# HI physics: jets



Eredita' da RHIC:

A causa della perdita di energia dei partoni, le particelle di alto  $p_T$  originano prevalentemente dalla superficie della regione di collisione. Il partner "away-side" del partone di "trigger" deve infatti attraversare tutto il "mezzo" creato nella collisione.

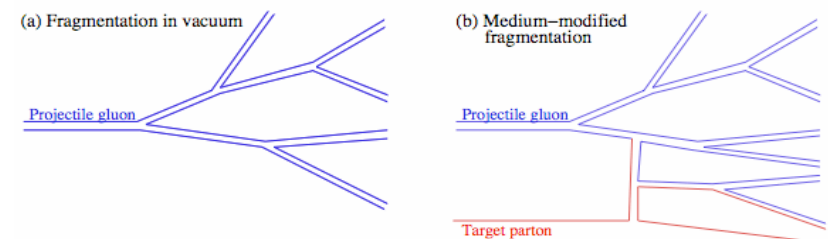


Il numero di jet per  $N_{\text{coll}}$  diminuisce (fattore  $\sim 2$ ) passando da collisioni periferiche a collisioni centrali; la soppressione e' indipendente dall' energia dei jet.

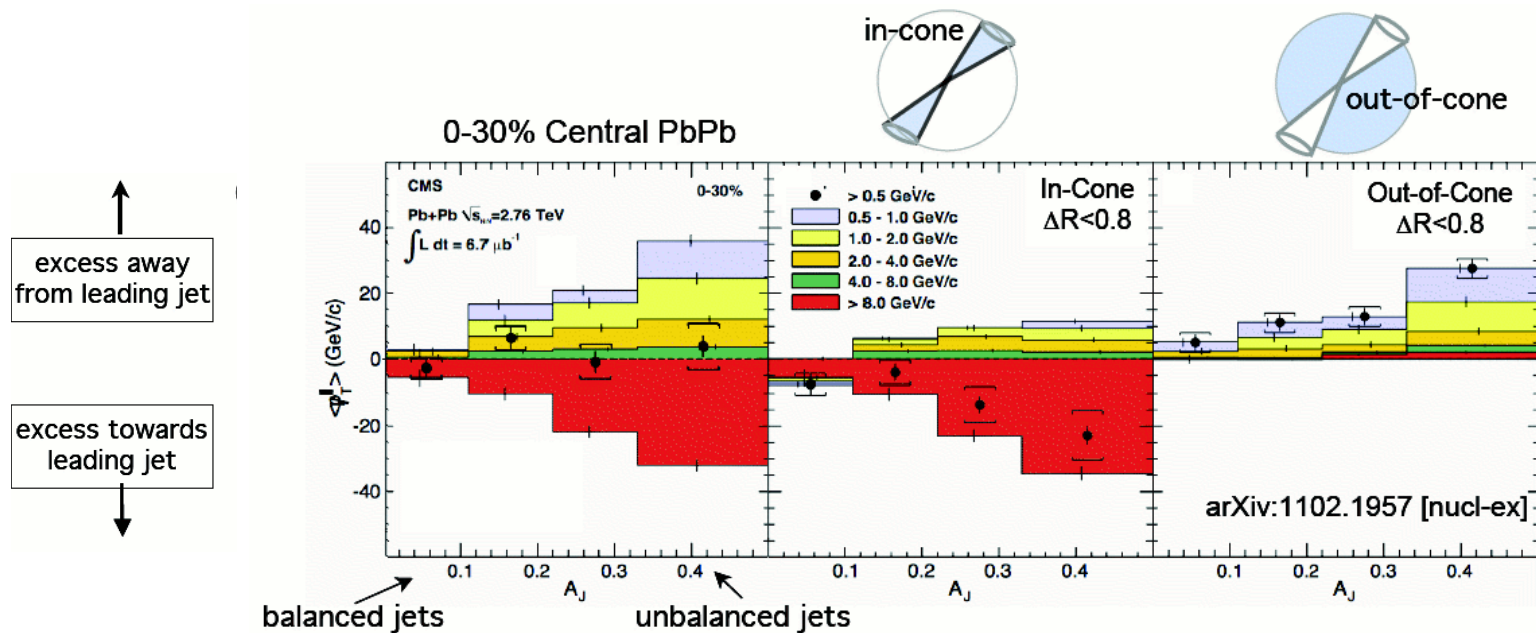
La perdita di energia dei partoni si riflette in uno SBILANCIAMENTO in energia dei dijet tanto piu' marcato quanto piu' la collisione e' centrale.

Tuttavia la propagazione di partoni di alto impulso nel mezzo nucleare denso NON conduce ad una visibile scorrelazione angolare dei due jet.

La frammentazione e' indipendente dall' energia persa nel mezzo e compatibile con la frammentazione di partoni NEL VUOTO



La differenza di momento tra i due jet viene bilanciata da particelle di basso impulso ad angoli GRANDI rispetto all' asse del jet "smorzato"



$$\text{Missing } p_T^{\parallel}: \quad p_T^{\parallel} = \sum -p_{\text{T}}^{\text{Track}} \cos(\phi_{\text{Track}} - \phi_{\text{Leading Jet}})$$

La perdita di energia dei partoni dipende sia dalle proprieta' del mezzo attraversato (volume, densita' di gluoni etc.) sia dal partone sonda (massa, carica di colore)

### **Parton Energy Loss by**

- medium-induced gluon radiation
- collisions with medium gluons

$$\Delta E(\varepsilon_{medium}; C_R, m, L)$$

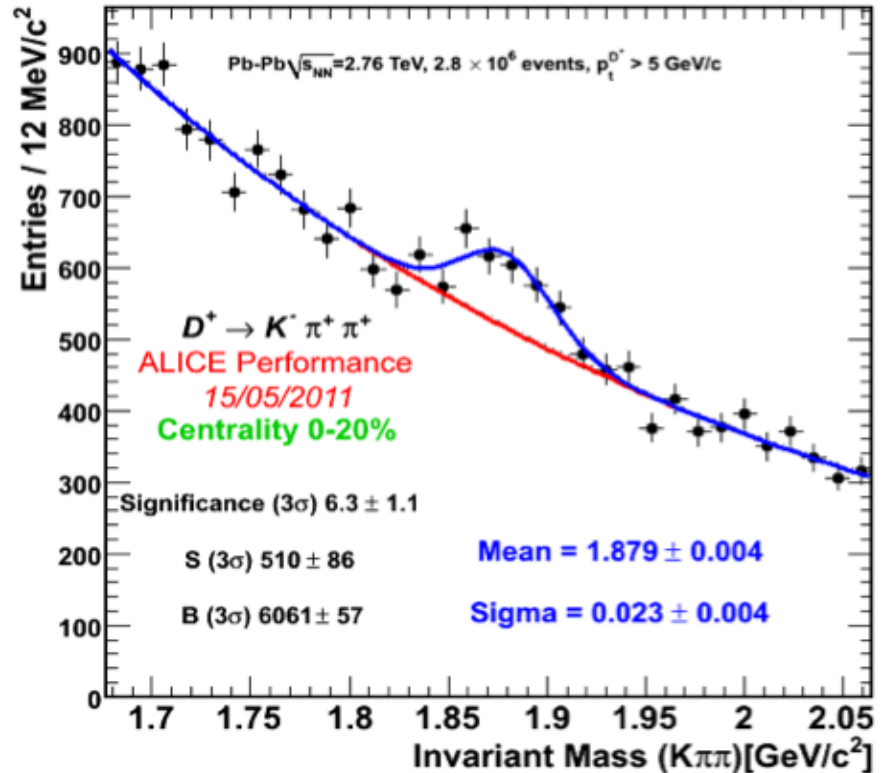
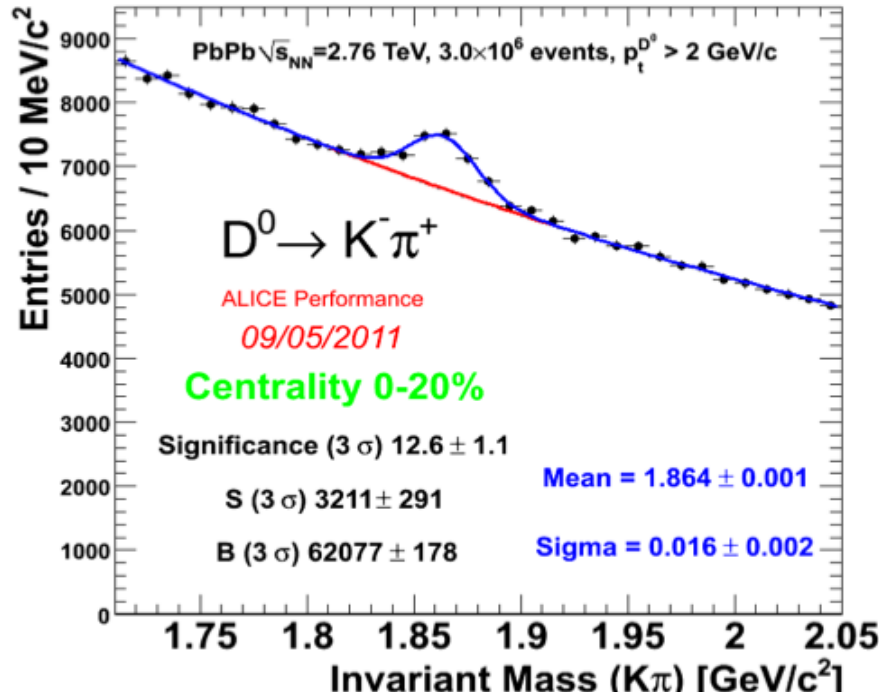
**pred:**  $\Delta E_g > \Delta E_{c=q} > \Delta E_b$

→  $R_{AA}^\pi < R_{AA}^D < R_{AA}^B$

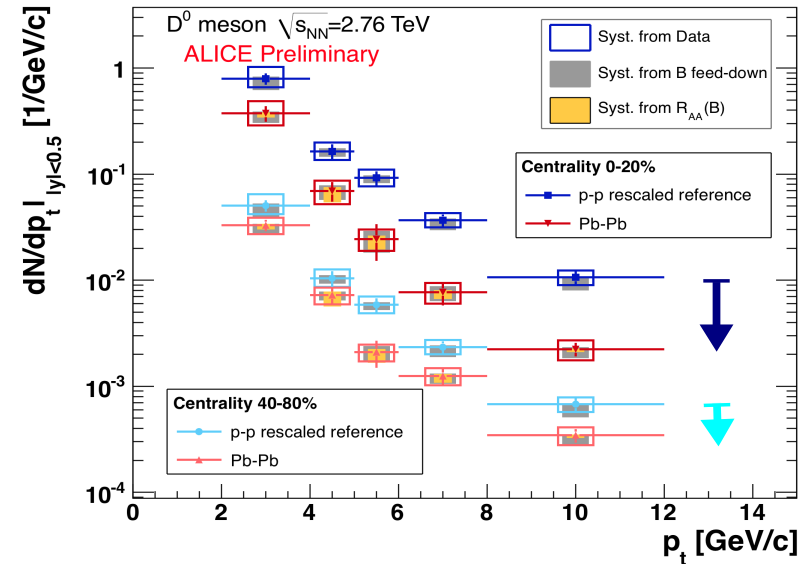
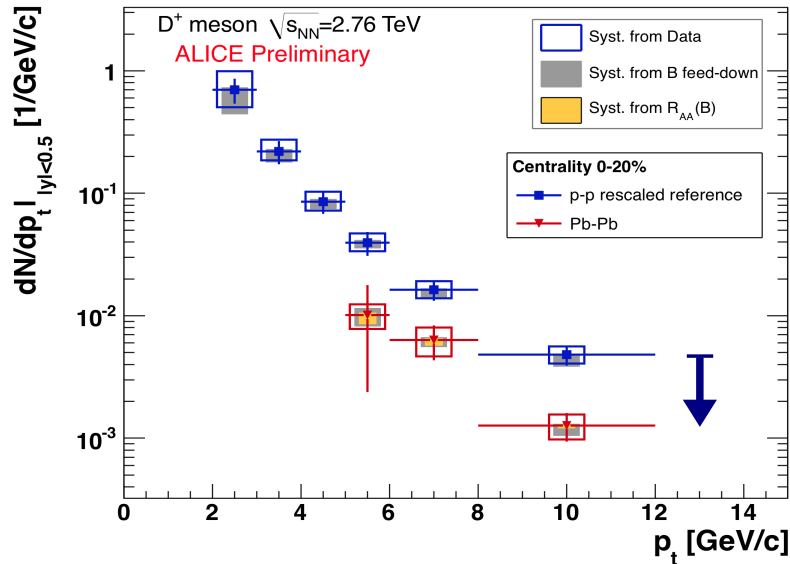
rivelare/misurare  
charm & beauty

$$R_{AA}(p_t) = \frac{1}{\langle T_{AA} \rangle} \frac{dN_{AA}/dp_t}{d\sigma_{pp}/dp_t}$$

# HF@LHC - open charm



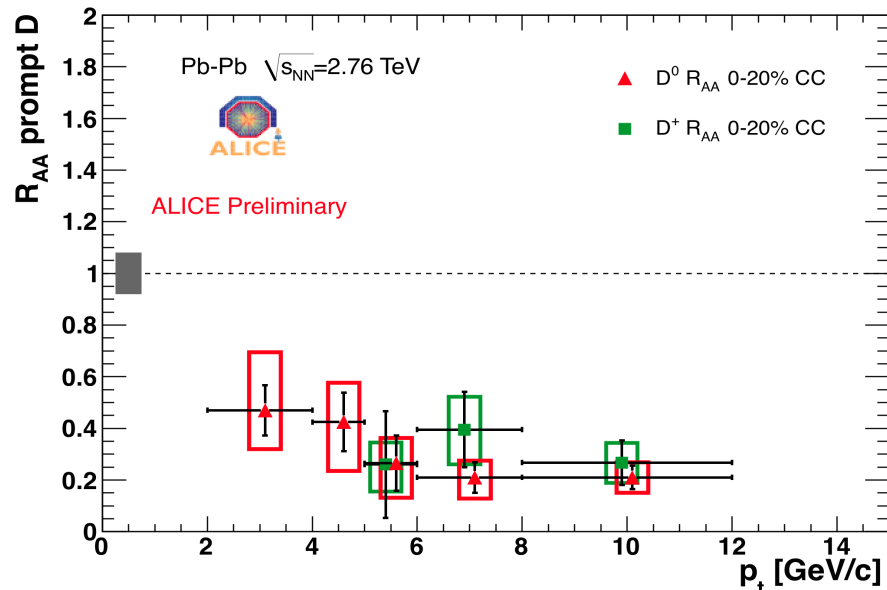
# HF@LHC – open charm vs $p_T$



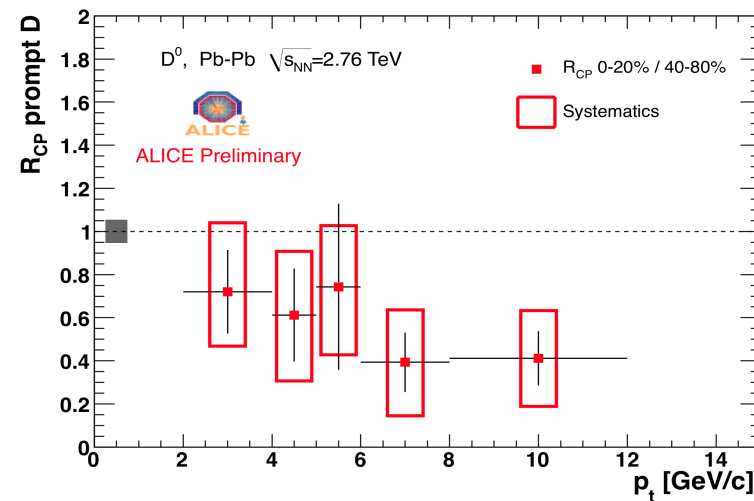
⬇ Forte soppressione in collisioni centrali (0-20%) PbPb rispetto a pp – fattore 4-5 sopra 5 GeV/c

⬇ Soppressione significativa anche in collisioni PbPb semiperiferiche (40-80%)

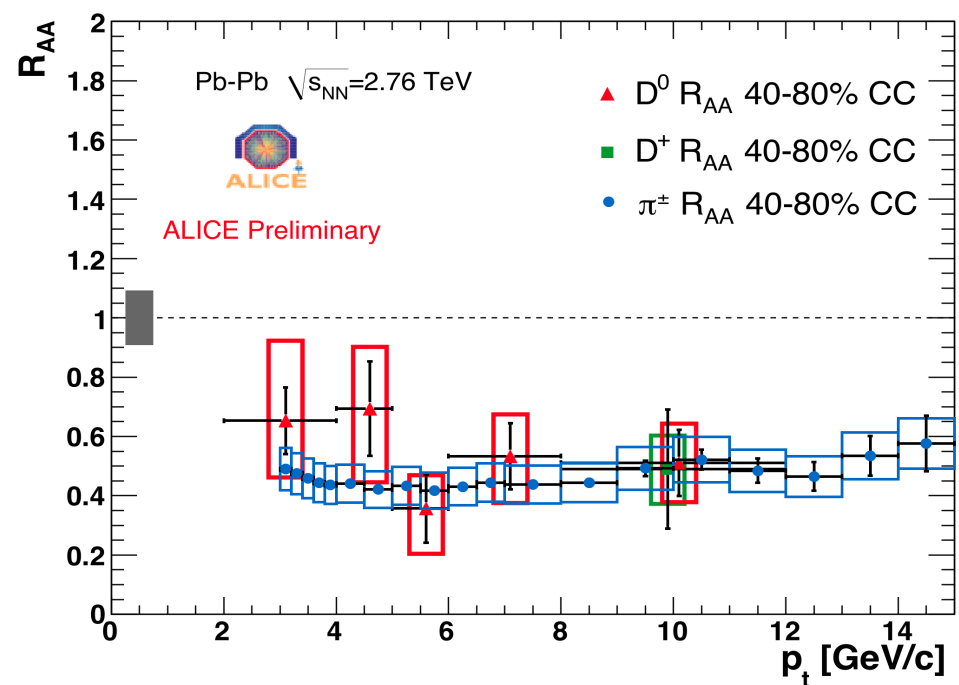
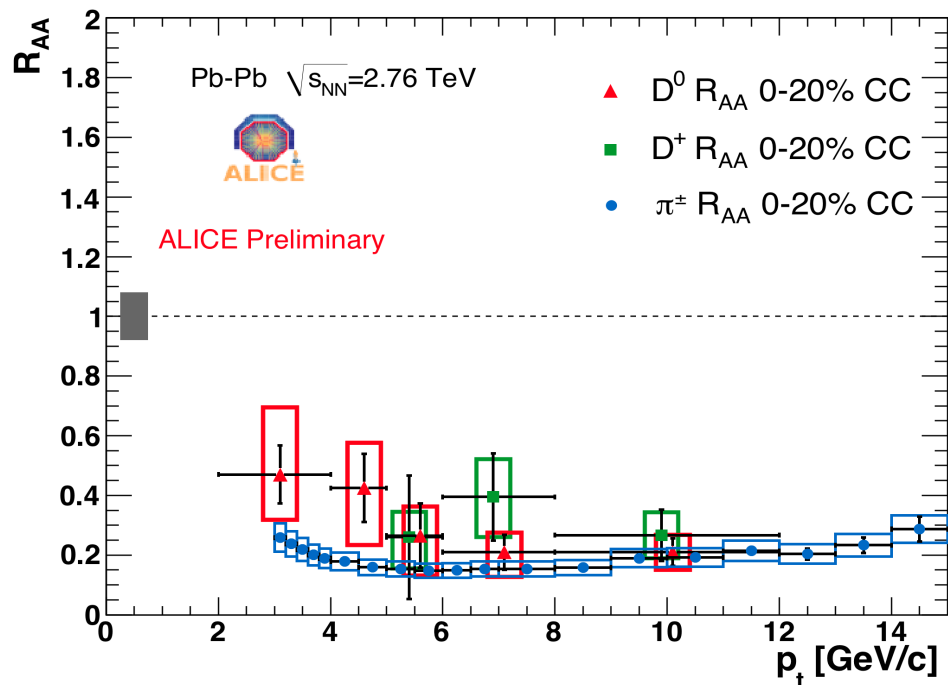
# HF@LHC – open charm $R_{AA}$ e $R_{CP}$



La soppressione del charm e' di un fattore 4-5 al di sopra dei 5 GeV/c



# HF@LHC – open charm vs pion $R_{AA}$

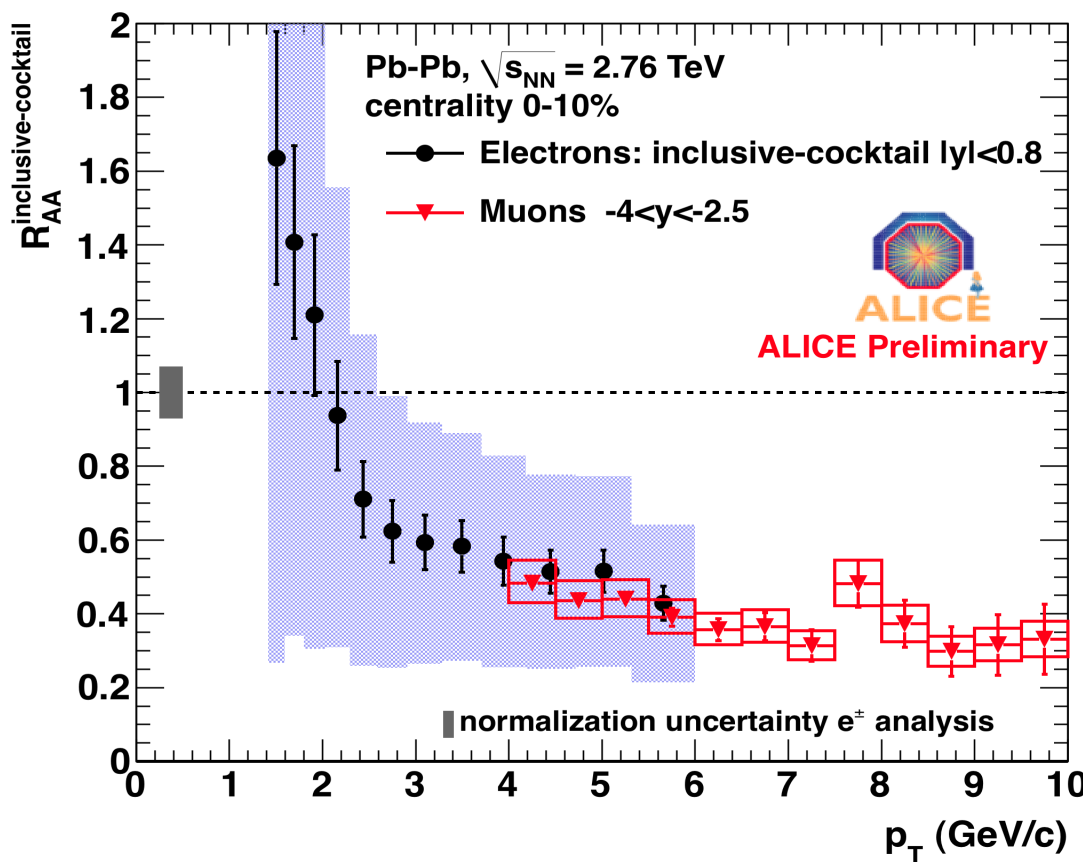


$R_{AA}$  del charm e' compatibile con quello dei pioni ma

forse un' indicazione di  $R_{AA}^D > R_{AA}^\pi$  ?

# HF@LHC – electron and muon $R_{AA}$

Al di là di un hint di un eccesso di elettroni a piccolo  $p_T$  (fotoni termici ?)



Soppressione di un fattore  $\sim 3$  a  $p_T > 6$  GeV/c FONLL  $\rightarrow$  beauty dominante in questa regione

La dipendenza dalla centralita' dell'  $R_{AA}$  di elettroni ( $p_T > 4.5$  GeV/c), muoni ( $p_T > 6$  GeV/c) e D ( $p_T > 6$  GeV/c) di Alice e' consistente ... c'e' una forte soppressione in collisioni centrali, soppressione che non e' presente nelle collisioni molto periferiche.

CMS ha misurato il fattore di soppressione nucleare per le  $J/\psi$  dal decadimento del  $B$  – per  $p_T(J/\psi) > 6.5$  GeV/c:

Minimum bias :  $R_{AA} = 0.37 \pm 0.07 \pm 0.03$

Central 0-20%:  $R_{AA} = 0.36 \pm 0.08 \pm 0.03$

Da confrontare con la soppressione di elettroni e muoni di Alice

## Per concludere

Qualche sorpresa ! In particolare: Mach cone & ridge ? Thermal yields, radiative Eloss ?

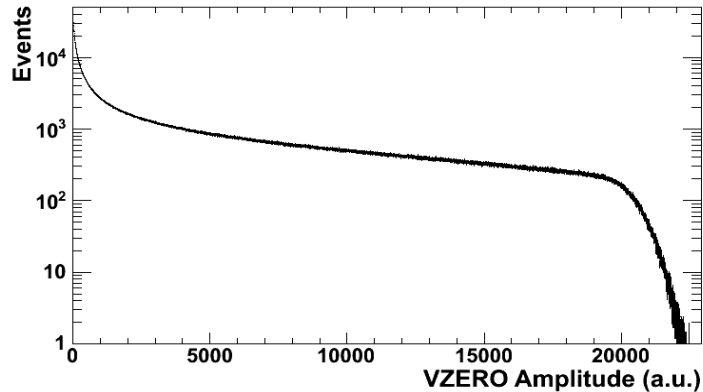


Ci aspetta una luminosita' 5× in Pb-Pb nel 2011 e forse p-Pb nel 2012 ...

Ovviamente, usiamo tutte le variabili e grandezze che conoscete. Se parlo di impulso trasverso, tutti sanno di cosa sto parlando. Ma ci sono grandezze specifiche della fisica degli ioni:

- ▶  $v_2$  Fourier coefficient of azimuthal anisotropies, “flow”
- ▶  $R_{AA}$  1 if yield = perturbative value from initial parton-parton flux
- ▶  $T$  Temperature (MeV)
- ▶  $\mu_B$  Baryon chemical potential (MeV)  $\sim$  net baryon density
- ▶  $\eta$  Viscosity ( MeV<sup>3</sup>) *indirectly inferred from  $R_{AA}$  and  $v_2$*
- ▶  $s$  Entropy density  $\sim$  “particle” density
- ▶  $\epsilon$  Energy density (Bjorken 1983)

# Centralita'



Npart from Glauber fits agree with geometrical values better than 1% except for peripheral (>70%) where the difference is 3.5%

